

FT-MS et analyse en toxicologie alimentaire et environnementale



Laurent DEBRAUWER
UMR 1331 INRA-INPT – Toxalim
Toulouse

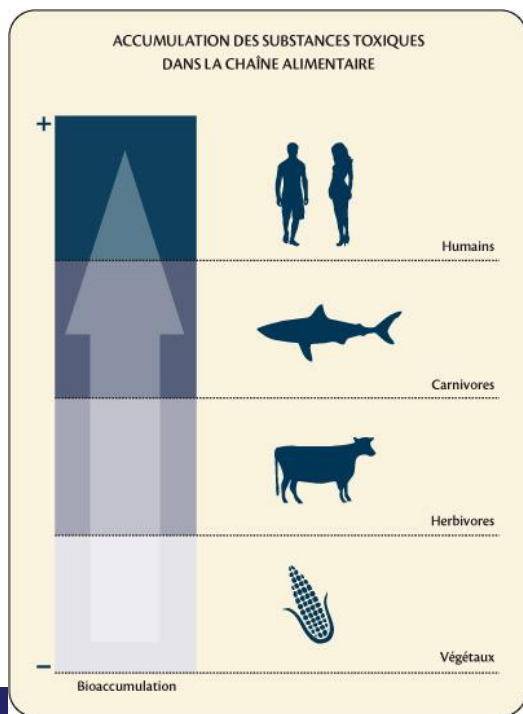
Ecole FT-MS
Dammarie les Lys
1^{er} avril 2014

Contaminants chimiques et alimentation

- Alimentation → lien important entre l'environnement et l'homme
- principale source de composés chimiques trouvés chez l'humain.

La plupart des maladies chroniques de l'homme peut être attribuée à l'exposition passée ou présente à des contaminants chimiques présents dans notre alimentation.

(source OMS : http://www.who.int/foodsafety/chem/TDS_recipe_2005_en.pdf).



Quelques familles de contaminants organiques de l'alimentation

Pesticides

Phtalates, Alkylphenols, Bisphenols

HAP

PCB / PCDD

Composés perfluorés

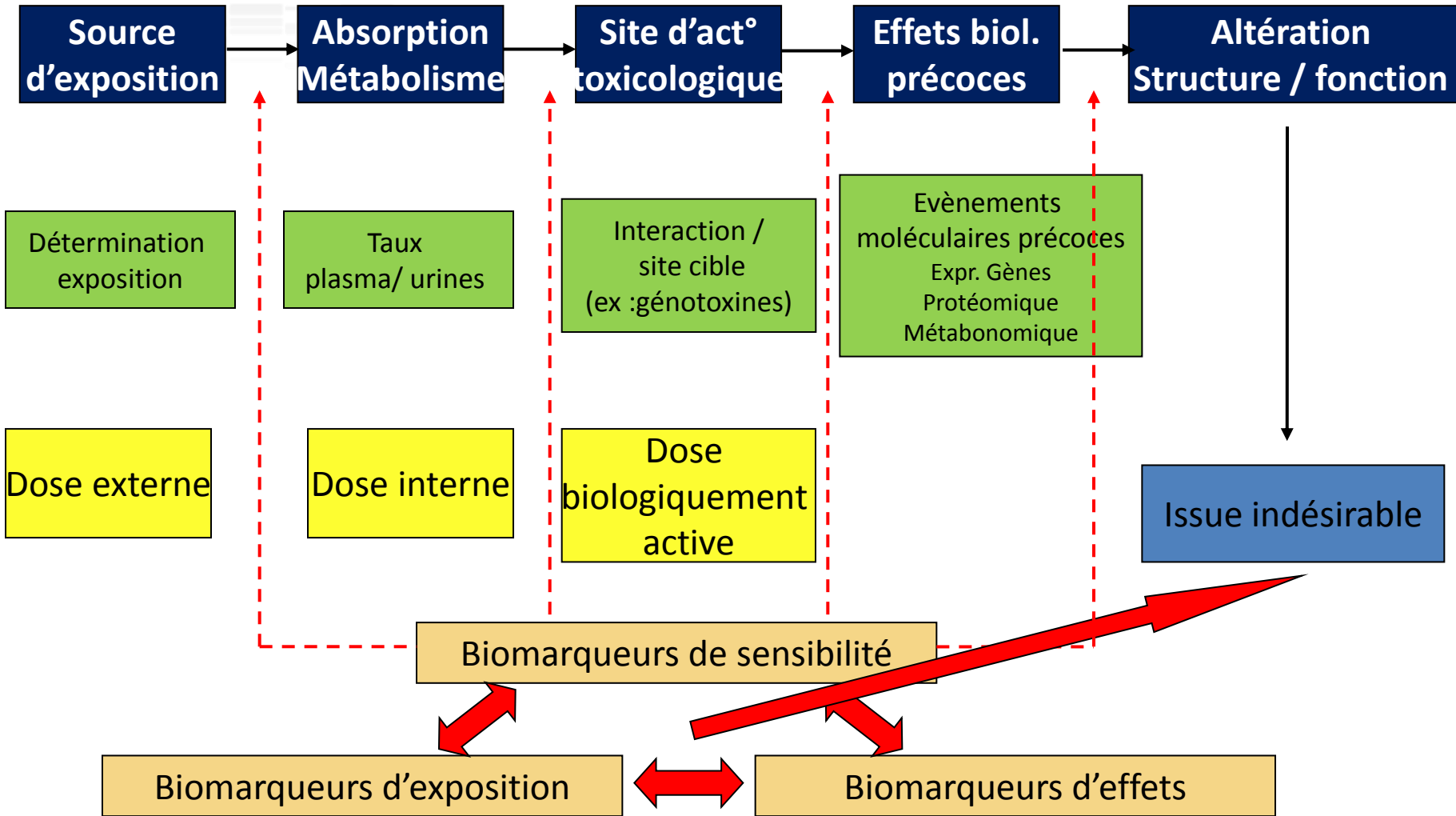
Retardateurs de flamme polybromés

Mycotoxines

Médicaments vétérinaires

Produits néoformés (HAP, AAH, acrylamide, furane...)

Exposition aux contaminants toxiques (chronique / faibles doses)



D'après P.B. Farmer, R. Singh, *Mutat Res* 659 (2008) 68-76



Analyse de contaminants toxiques à l'état de traces dans des matrices complexes

Sensibilité

Sélectivité

La sensibilité est très souvent conditionnée par la sélectivité

La spectrométrie de masse pour l'analyse des résidus de contaminants organiques



1980-1990

GC-MS

LC-MS peu répandue dans les laboratoires d'analyse

Interfaces DLI, moving belt, thermospray, particle beam, CF-FAB

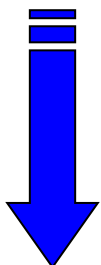
Quadripôles

Limites de détection

1-5 ng

Masse exacte / haute résolution

non



Sensibilité / sélectivité



2000-2010

LC-MS = technique de routine

ESI, APCI (APPI)

(triple) quadripôles, pièges 2D/3D, hybrides (Q-q-LIT, Q-q-ToF, Orbitrap)

Limites de détection

< 0.1 pg

Masse exacte / haute résolution

oui

Plan de la présentation

Apport de la FT-MS pour la détermination ciblée de contaminants

analyse de toxines

comparaisons avec la méthode MRM

Intérêt de la très haute résolution pour l'identification structurale de métabolites de contaminants

Composés polybromés

Pesticides

Mycotoxines

Nouvelles approches semi-ciblées / non ciblées grâce à la FT-MS

Alcénals

Métabolites de pesticides

Perturbateurs endocriniens

Analyses ciblées multi-résidus : la LC-MS/MS (MRM) comme outil de référence

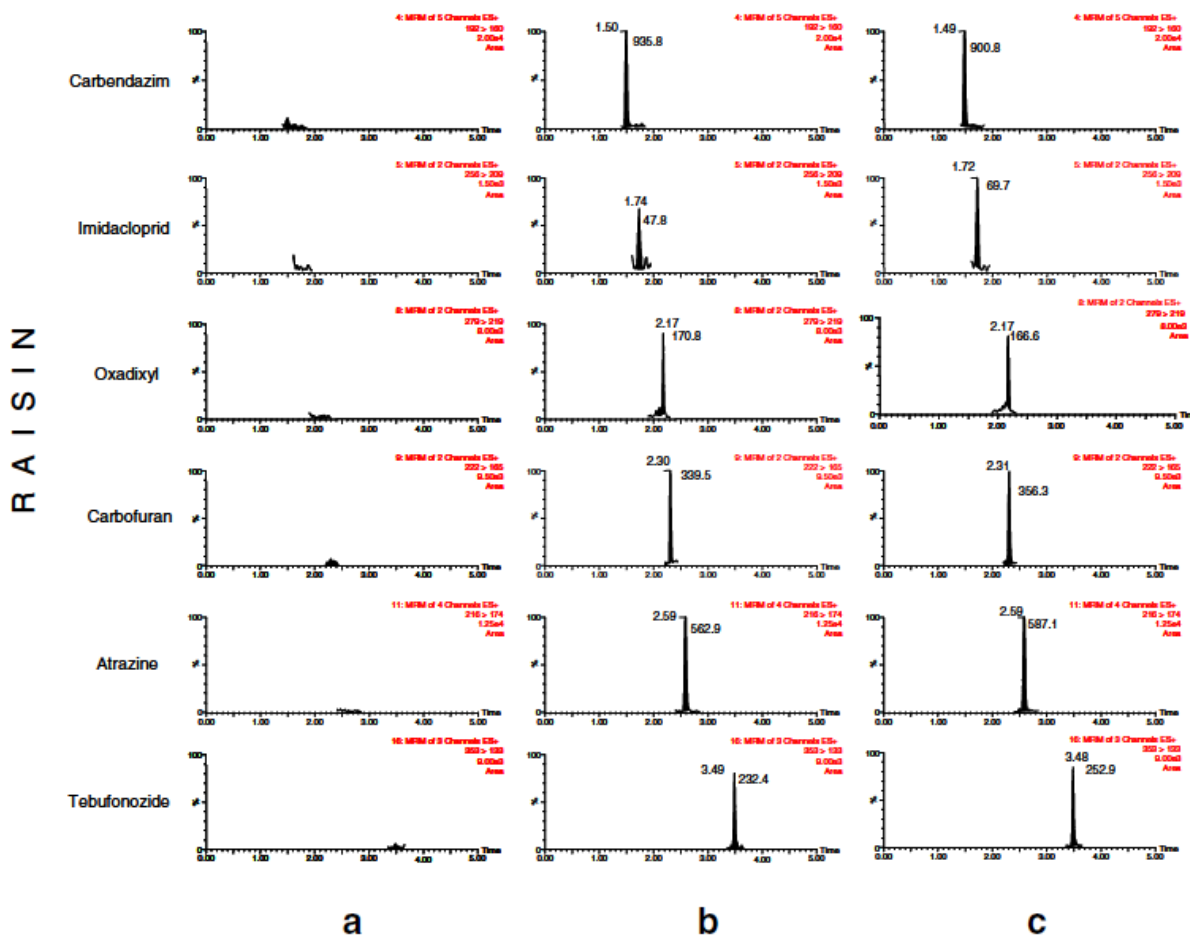


Fig. 1 UPLC-MS-MS chromatograms obtained from six representative pesticides: (a) blank sample (b) sample spiked at 0.01 mg kg⁻¹ (1.25 ng mL⁻¹ in the final extract) (c) matrix-matched standard (1.5 ng mL⁻¹)

Analyses ciblées multi-résidus : les possibilités de screening large offertes par la LC-HRMS

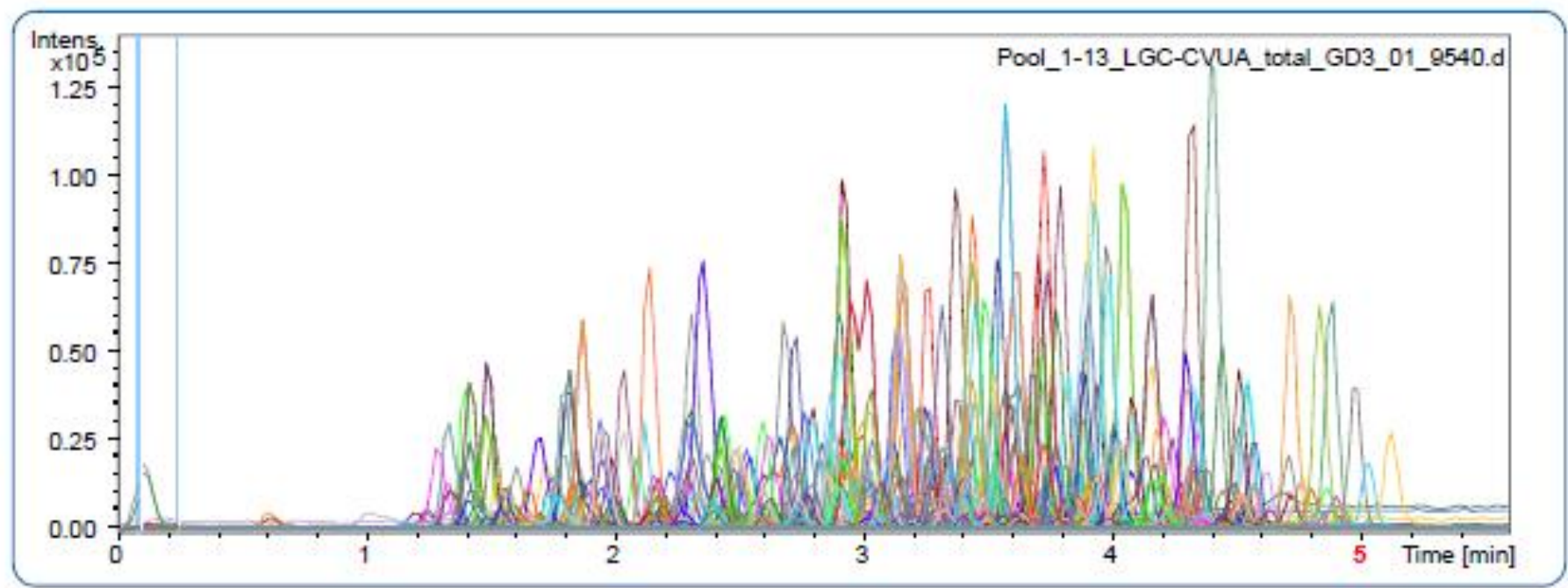


Fig. 2: Multi compound standard of 650 pesticides, grad. (B): overlaid compound EICs, complete pesticide elution in about 5 minutes.

Analyse de toxines sur LTQ-Orbitrap

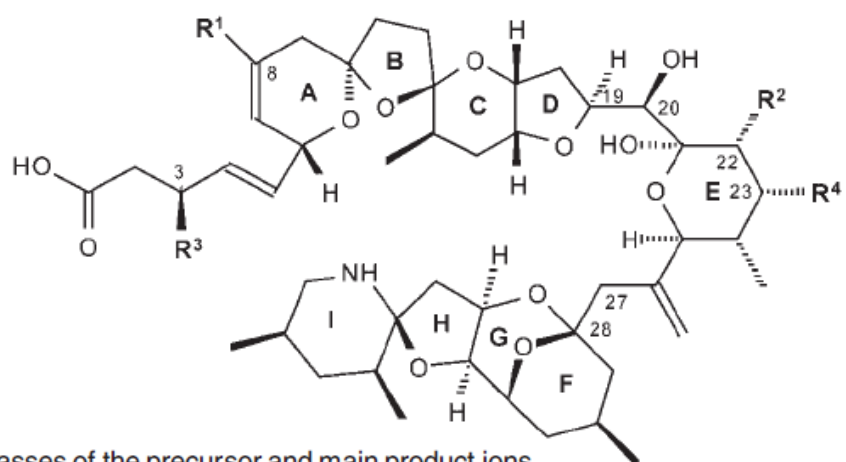
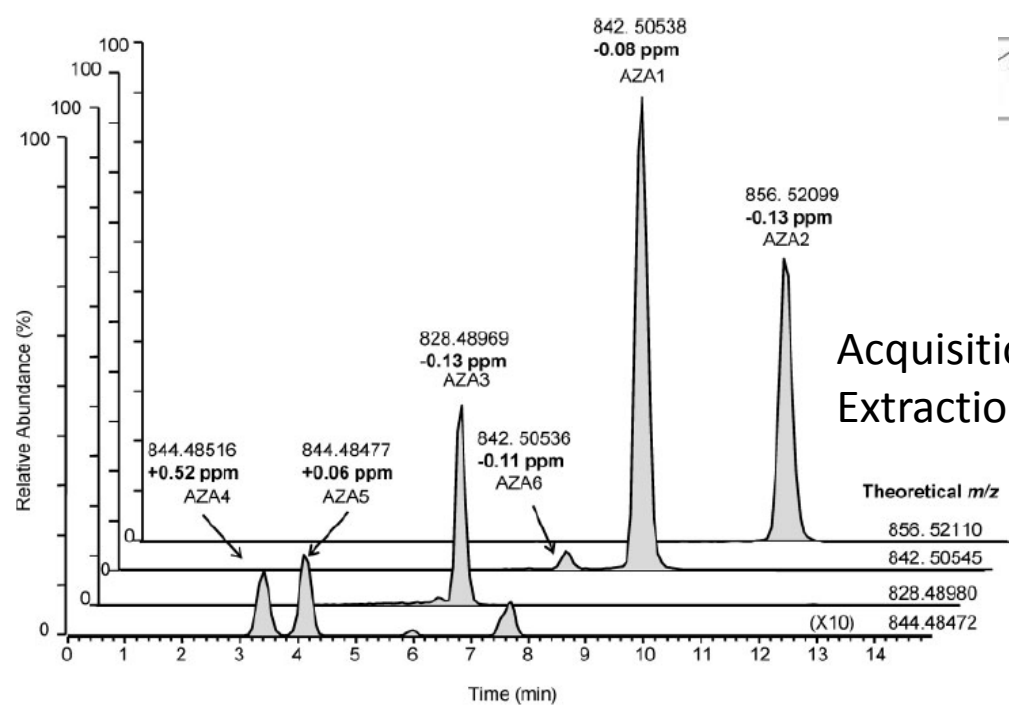


Table 1. Substituent designations for azaspiracids and the theoretical and found masses of the precursor and main product ions, determined using data-dependent scans with HCD

	R ¹	R ²	R ³	R ⁴	[M + H] ⁺ theoretical m/z	[M + H] ⁺ found m/z Error (ppm)	[M + H - H ₂ O] ⁺ theoretical m/z	[M + H - H ₂ O] ⁺ (Found) Error (ppm)	[M + H - H ₂ O - A ring] ⁺ theoretical m/z	[M + H - H ₂ O - A ring] ⁺ found m/z Error (ppm)
AZA1	H	CH ₃	H	H	842.50545	842.50564 0.22	824.49489	824.49492 0.04	672.41116	672.41091 -0.37
AZA2	CH ₃	CH ₃	H	H	856.52110	856.52160 0.58	838.51054	838.51078 0.29	672.41116	672.41092 -0.35
AZA3	H	H	H	H	828.48980	828.48953 -0.33	810.47924	810.47855 -0.85	658.39551	658.39464 -1.32
AZA4	H	H	OH	H	844.48472	844.48491 0.23	826.47415	826.47423 0.09	658.39551	658.39516 -0.53
AZA5	H	H	H	OH	844.48472	844.48523 0.61	826.47415	826.47432 0.20	674.39042	674.39021 -0.31
AZA6	CH ₃	H	H	H	842.50545	842.50602 0.67	824.49489	824.49498 0.11	658.39551	658.39527 -0.36

Analyse de toxines sur LTQ-Orbitrap



Acquisition non ciblée
Extraction signaux HR

Confirmation
MS/MS (HCD)
Data dependant

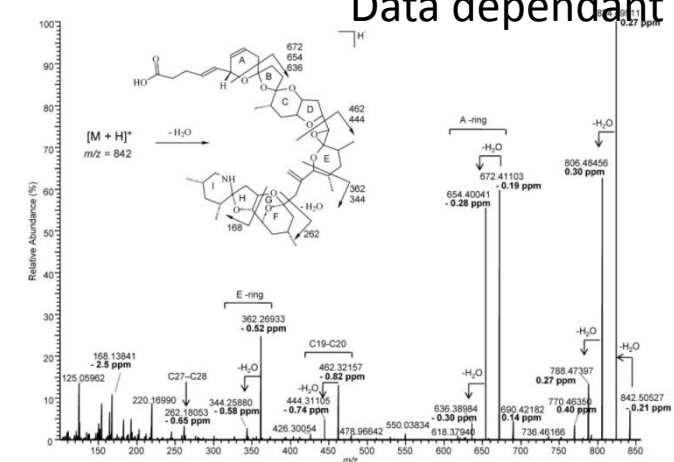
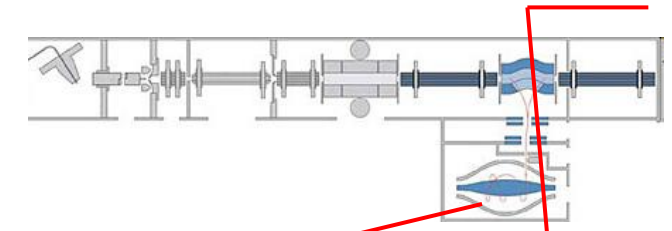
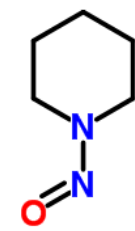
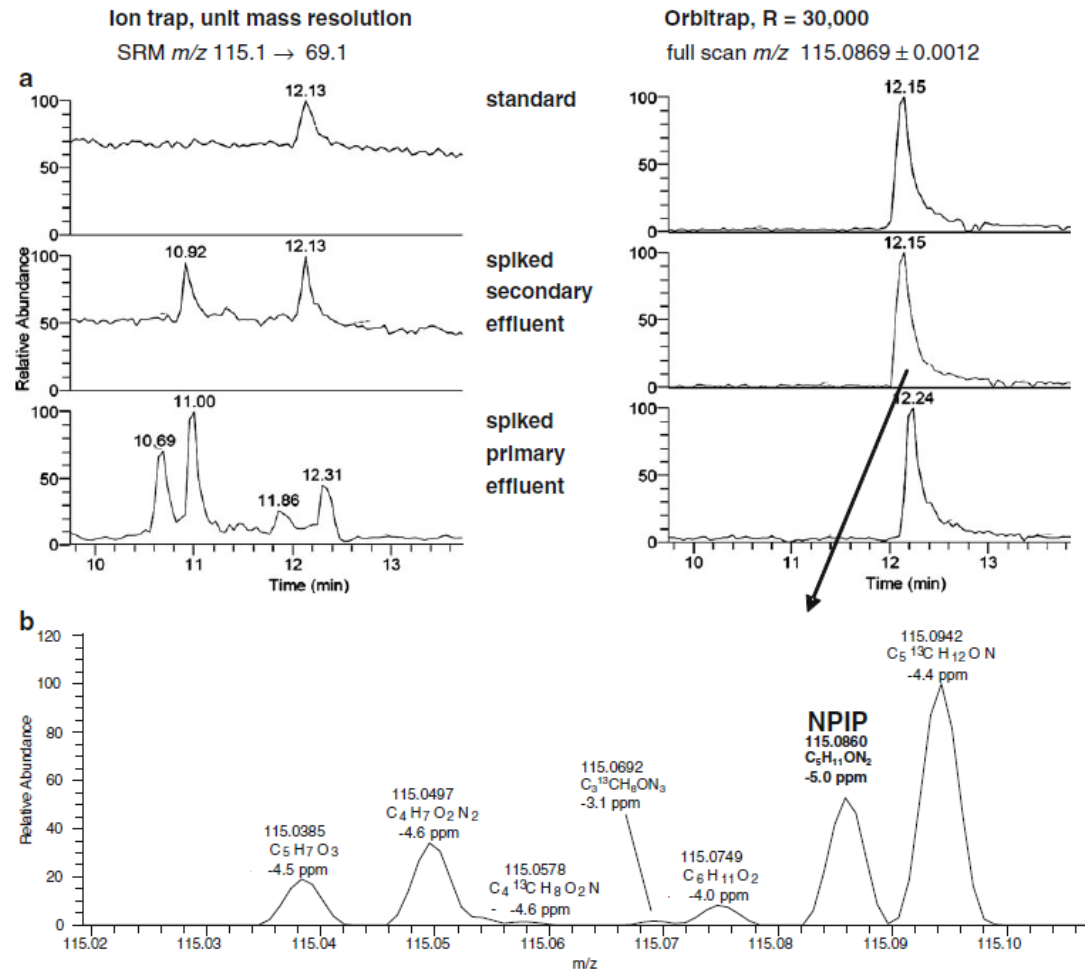


Figure 4. LC/MS ion chromatograms of azaspiracids in an extract of mussel (*M. edulis*) tissues, obtained using full-scan FTMS at 100 000 resolution. The found masses and error values are shown above each peak. The chromatograms were generated post-acquisition using four selected theoretical mass values with a mass tolerance window of ± 2 mDa.

SRM vs. HRMS



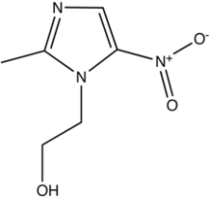
N-nitrosopiperidine
Détectée dans
certains aliments
fumés
(poisson,bacon,...) et
autres aliments
conservés avec du
nitrite de sodium

Fig. 2 a LC-MS chromatograms of *N*-nitrosopiperidine (NPIP) obtained from SRM at unit mass resolution (ion trap) and HRMS full scan at $R=30,000$ using an LTQ Orbitrap. A calibration standard of 10 ng/mL in water/methanol 95:5, and extracts of a secondary and a primary effluent sample from a sewage treatment plant both spiked at

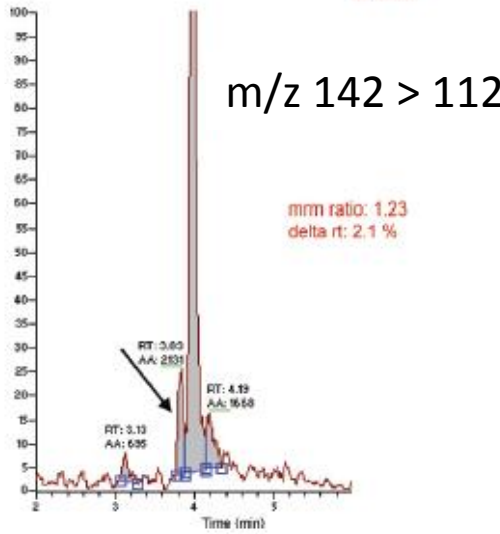
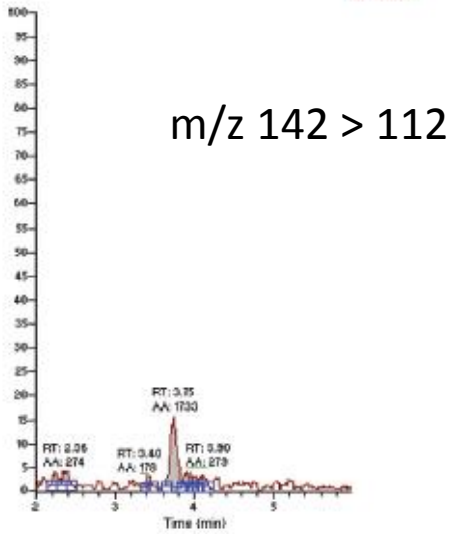
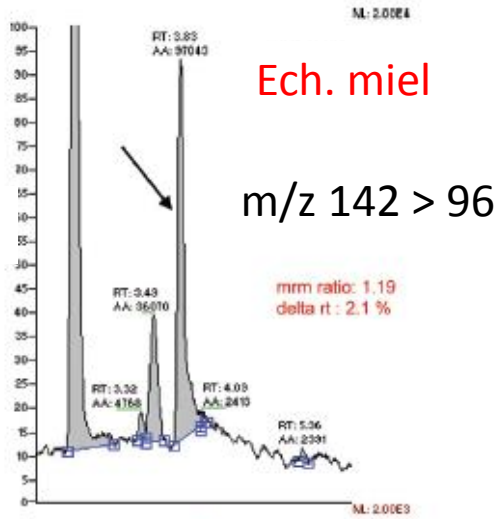
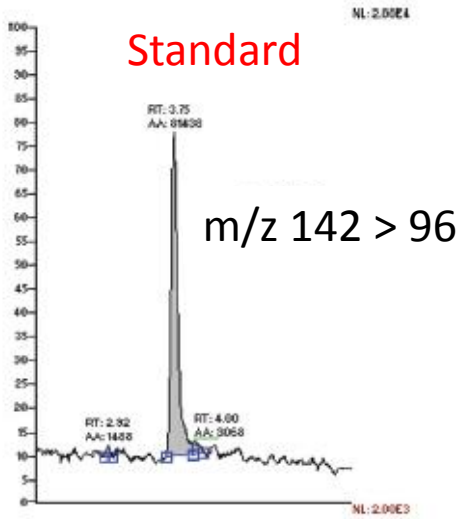
20 ng/L are shown. All peaks correspond to about 200 pg of compound on column. b Section of the high resolution full-scan mass spectrum from the secondary effluent sample extract showing NPIP and interfering compounds of the same nominal mass with molecular formula assignments and mass accuracy. Further analytical details are given in [12]

MRM vs. HRMS

**MRM
(faux positif)**

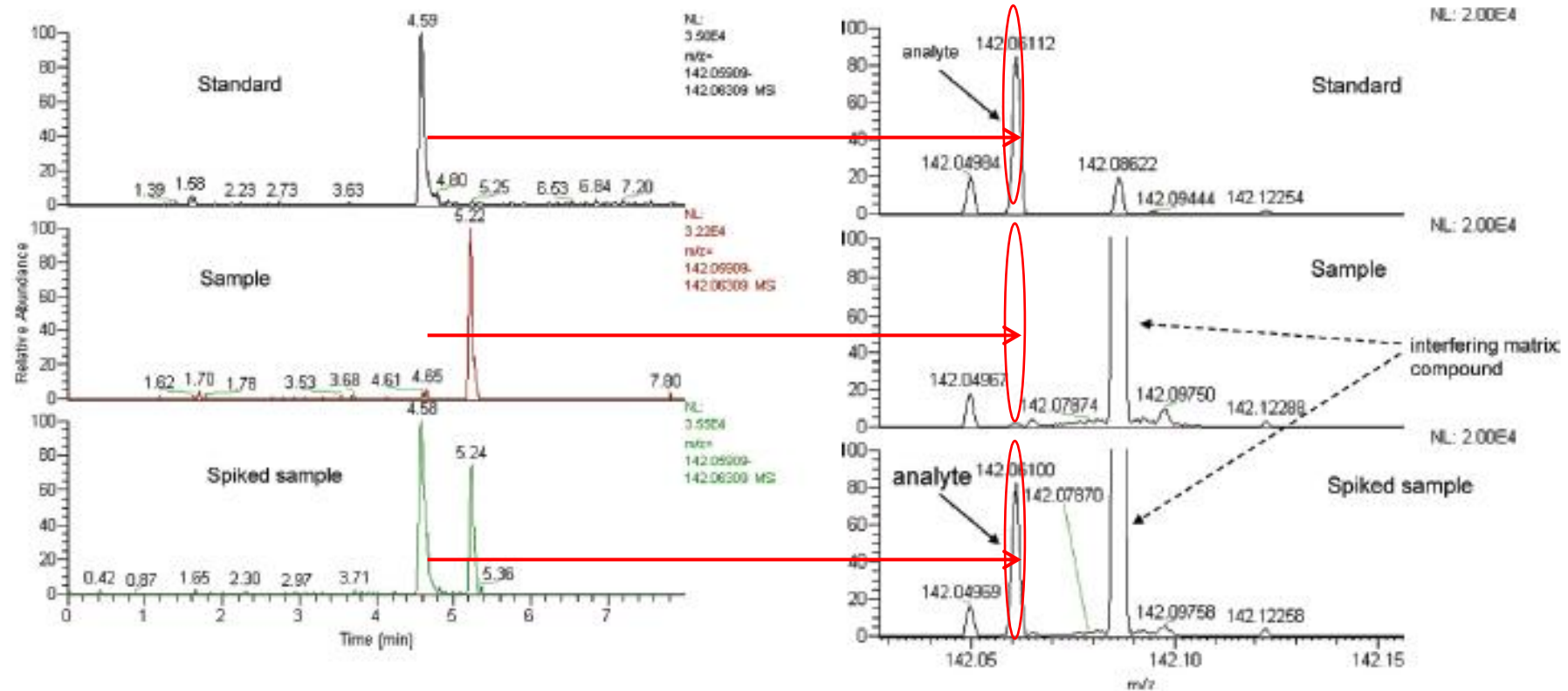


Nitroimidazole (miel)



MRM vs. HRMS

142,06109 ± 2 mDa



MRM vs. HRMS

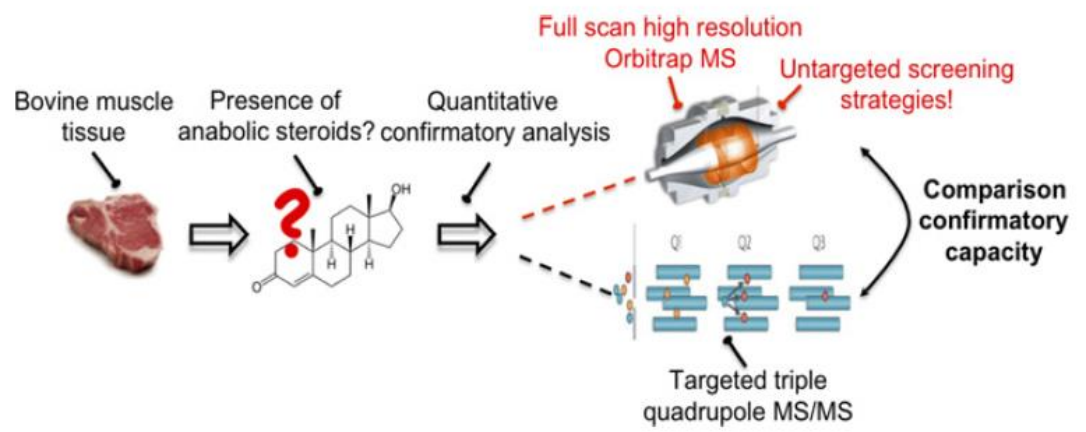


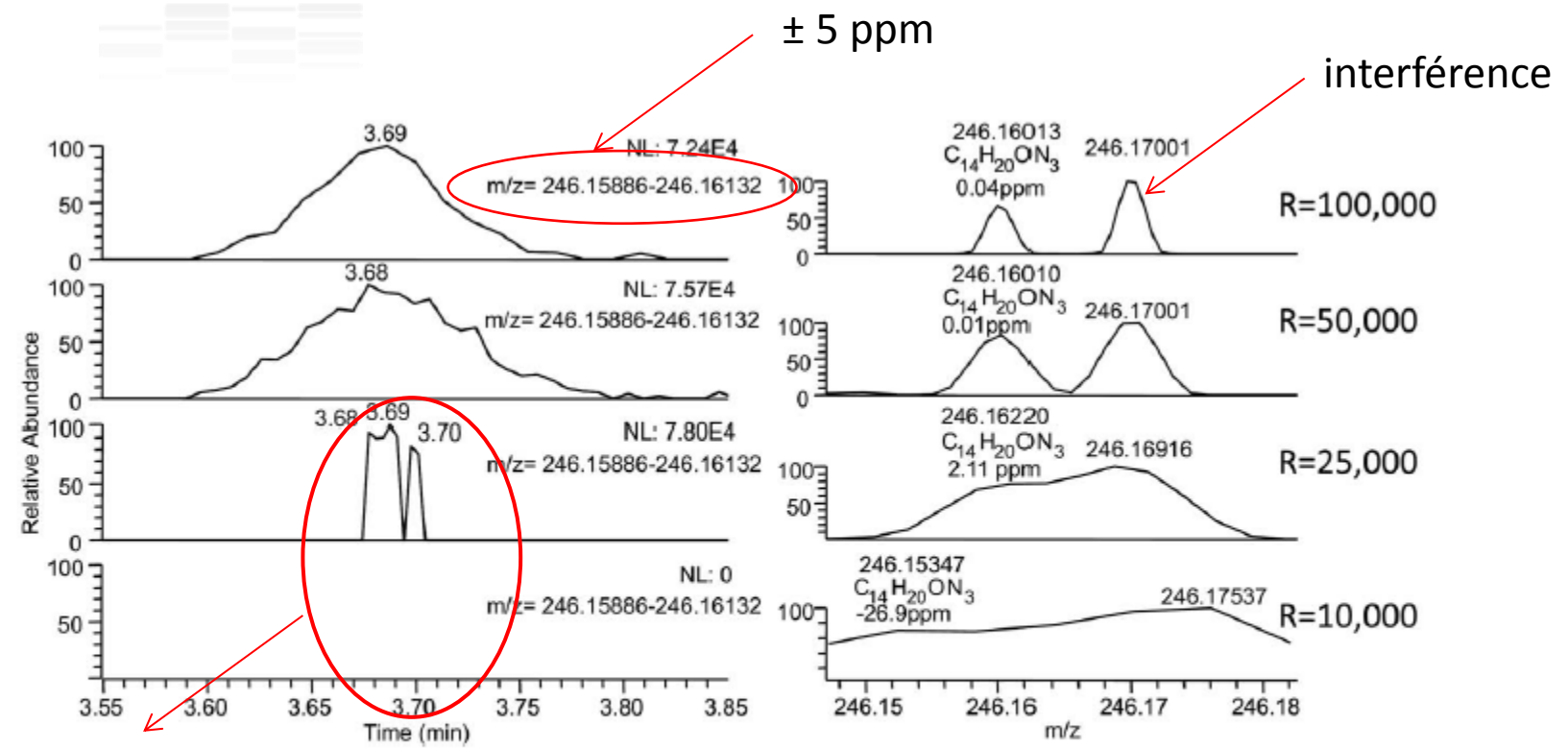
Table 1
Mean corrected recovery (at the RC or AL) and precision of the MS/MS and HRMS methods, developed for the analysis of 34 anabolic steroids in meat.

Analyte	Mass Spectrom. Technique	RC/AL (µg kg ⁻¹)	Recovery ^a Mean ± SD (%)	Repeatability ^a RSD (%)	Within-lab. Reprod ^b RSD (%)
17α-estradiol	MS/MS	1	93.4 ± 7.9	7.3	8.2
	Orbitrap	1	104.1 ± 21.8	26.8	27.5 ←
17β-estradiol	MS/MS	1	101.4 ± 10.8	10.2	9.9
	Orbitrap	1	81.8 ± 25.1	28.6	28.5 ←
dienestrol	MS/MS	1	97.4 ± 14.3	17.0	18.5
	Orbitrap	1	98.7 ± 12.3	19.7	18.9
diethylstilbestrol	MS/MS	1	85.4 ± 16.3	19.0	17.5
	Orbitrap	1	153.6 ± 71.9	39.3	37.9 ←
17β-ethinylestradiol	MS/MS	1	93.5 ± 12.5	13.0	12.1
	Orbitrap	1	102.6 ± 13.5	19.7	18.9
α-zearalanol	MS/MS	5	81.4 ± 11.3	18.3	16.8
	Orbitrap	5	116.4 ± 45.4	27.9	29.3
β-zearalanol	MS/MS	1	81.6 ± 11.2	18.5	17.1
	Orbitrap	1	154.0 ± 80.1	26.7	47.54 ←
estrone	MS/MS	1	110.0 ± 14.3	8.4	9.6
	Orbitrap	1	101.1 ± 16.6	18.6	18.5
estriol	MS/MS	1	119.2 ± 13.9	11.7	
	Orbitrap	1	n.d.	n.d.	
hexoestrol	MS/MS	1	99.5 ± 7.6	7.7	
	Orbitrap	1	n.d.	n.d.	
17α-testosterone	MS/MS	1	93.4 ± 9.3	6.9	
	Orbitrap	1	94.9 ± 9.8	15.4	12.6

Sensibilité plus faible
→ Valeurs élevées

Etc...

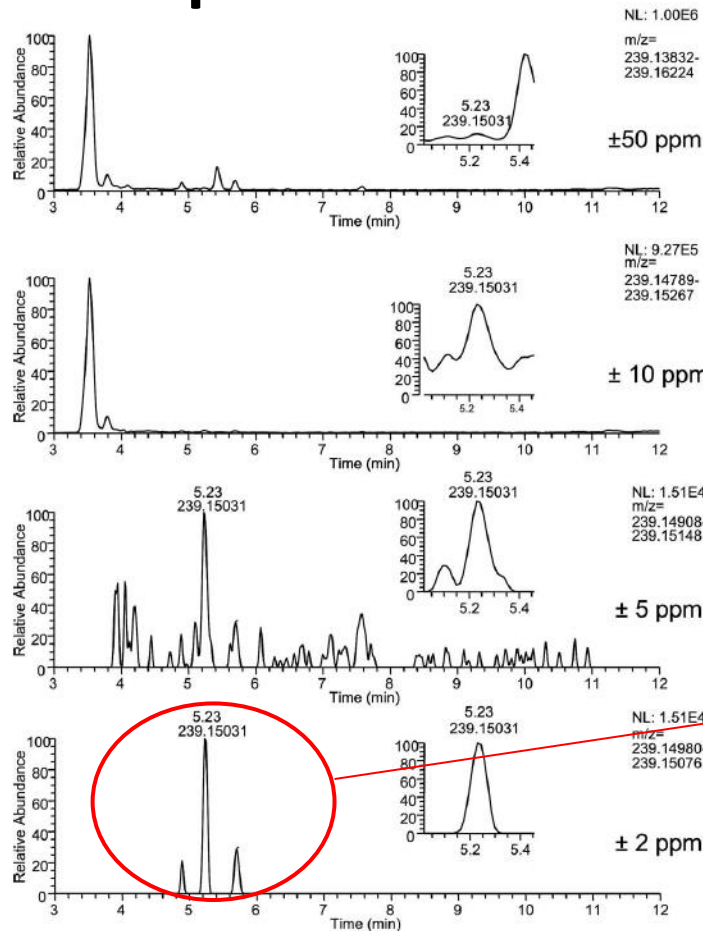
Utilité de la très haute résolution pour la sélectivité de détection



Risque de faux négatif à R < 25000

Figure 3. Effect of resolving power on assigned mass accuracy of an analyte in matrix. Isopyrin (C₁₄H₁₉N₃O, RT = 3.69 min; MH⁺ = 246.16009, 25 ng/g in animal feed. Left-hand side: XICs with ±5 ppm mass extraction window. Right-hand side: mass profiles of analyte and matrix interference at RT = 3.69 min.

Sélectivité de détection : importance de la précision de la mesure



R = 100000
± 2 ppm

→ 3 pics

Figure 1. Effect of mass extraction window on selectivity. Extracted ion chromatograms for the pesticide pirimicarb (MH⁺, C₁₁H₁₉N₄O₂, m/z_{theo.} = 239.15028, retention time = 5.23 min) in animal feed matrix at 10 ng/g; resolving power: 100,000.

Vitesse d'acquisition, résolution et précision

Nbre de points pour
définition du pic
chromatographique
(quantification)

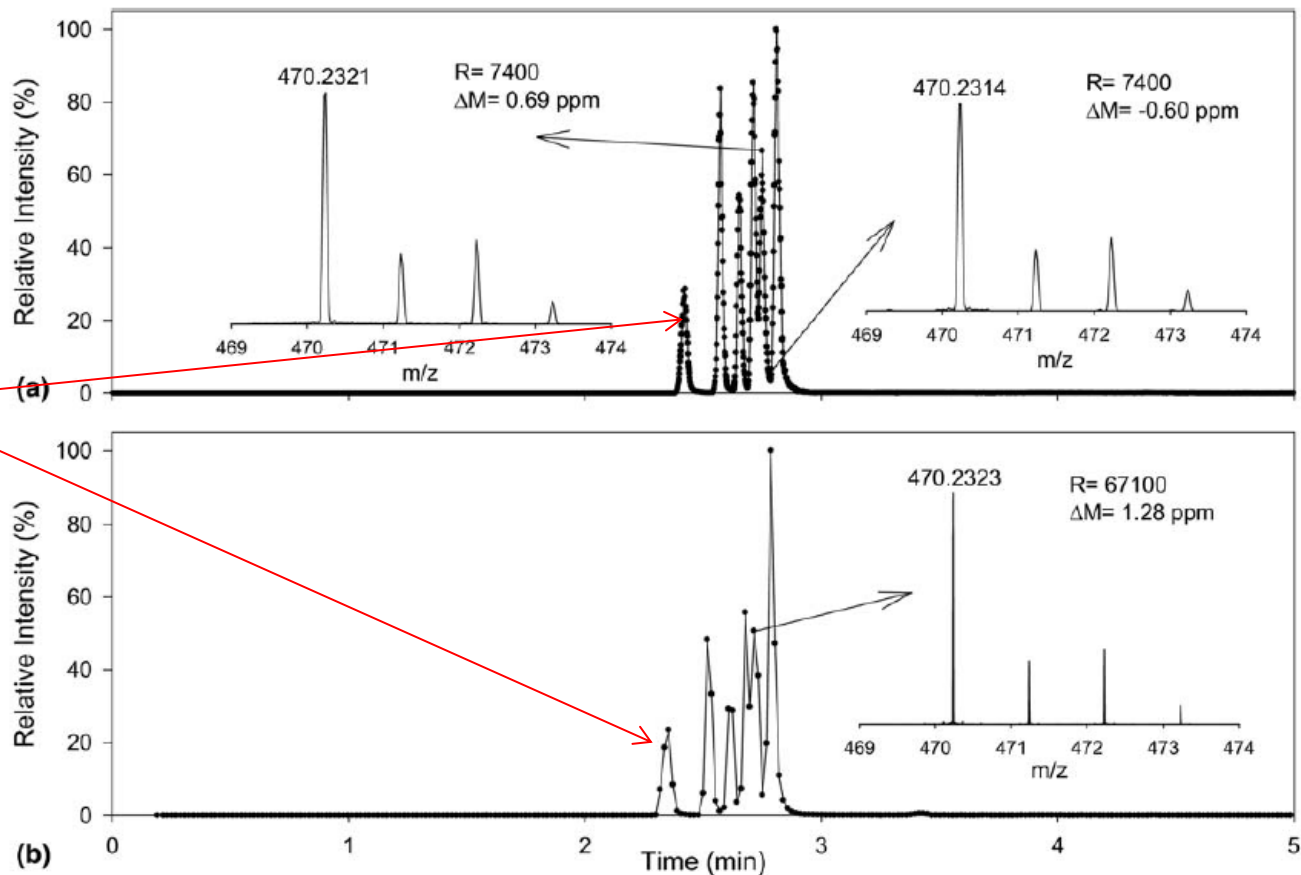


Figure 1. Comparison of (a) 10 Hz and (b) 1 Hz data acquisition rates using the Exactive™. Insets in (a) shows mass spectra taken from peak top and peak tail. Inset in (b) shows spectra taken from peak top.



Full scan MS et MS/MS

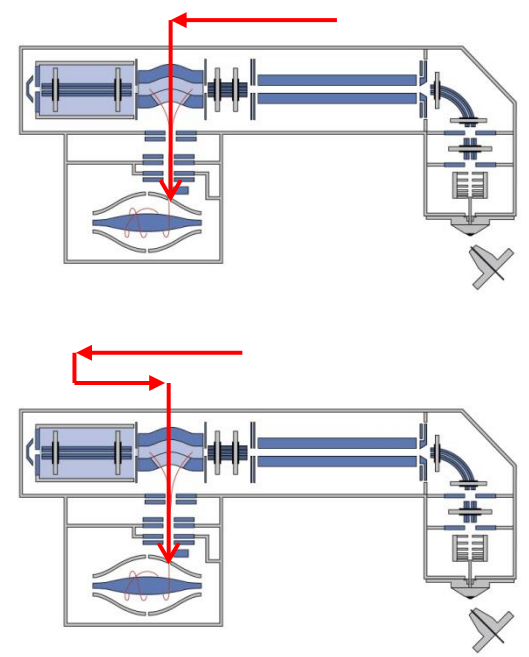
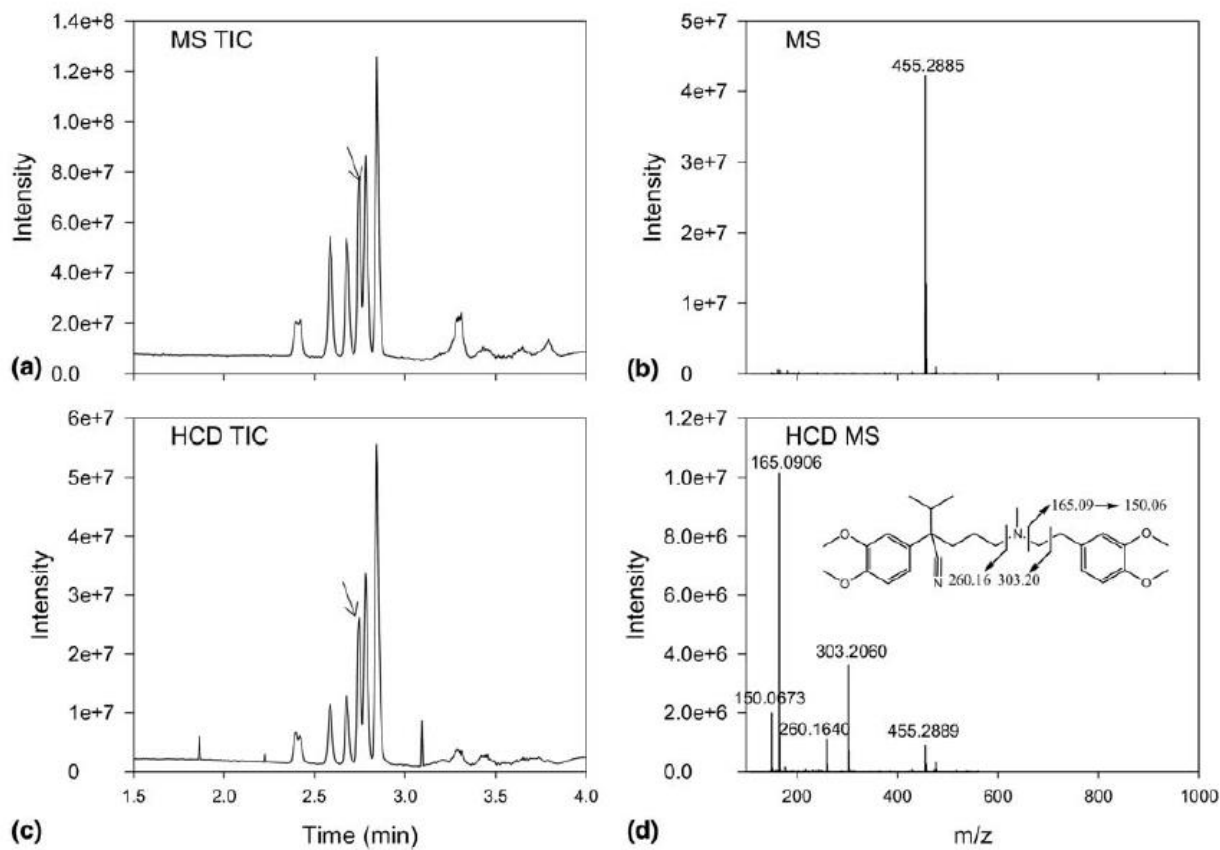


Figure 2. (a) MS and (c) HCD chromatograms for the analysis of a mixture of 6 compounds. (b) Mass spectrum extracted from peak labeled with arrow in (a) showing intact $[M + H]^+$ for verapamil. (d) HCD mass spectrum from peak labeled with arrow in (c). Structure in (d) shows assignment of fragment ions for verapamil.

Utilité de la FT-MS pour la confirmation de métabolites : exemple des PBDE

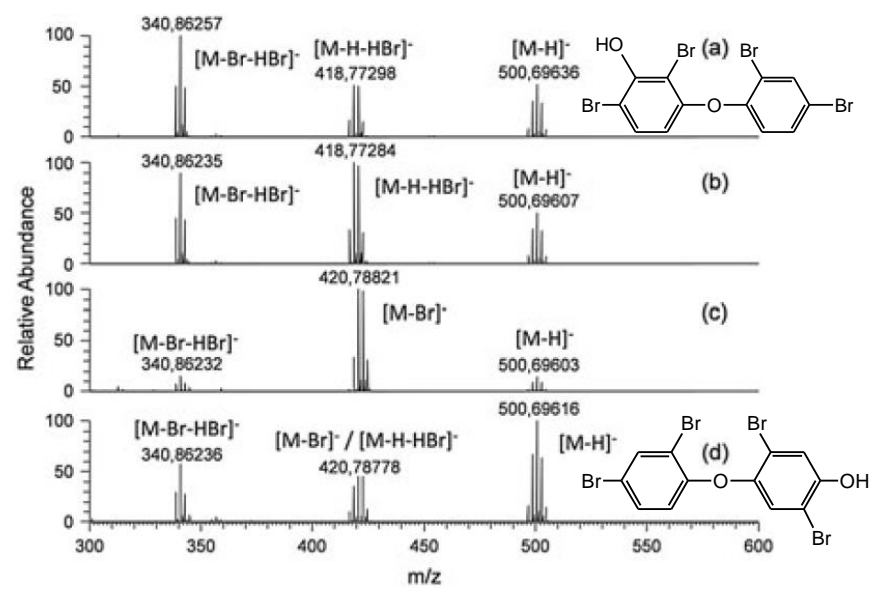
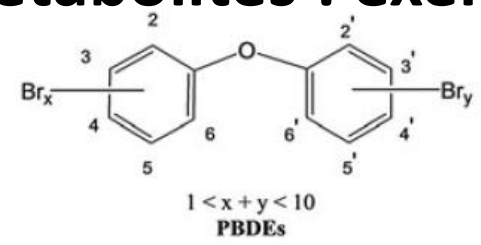


Figure 3. Negative APPI mass spectra of (a) 3-OH-BDE-47, (b) 5-OH-BDE-47, (c) 6-OH-BDE-47, and (d) 4'-OH-BDE-49.

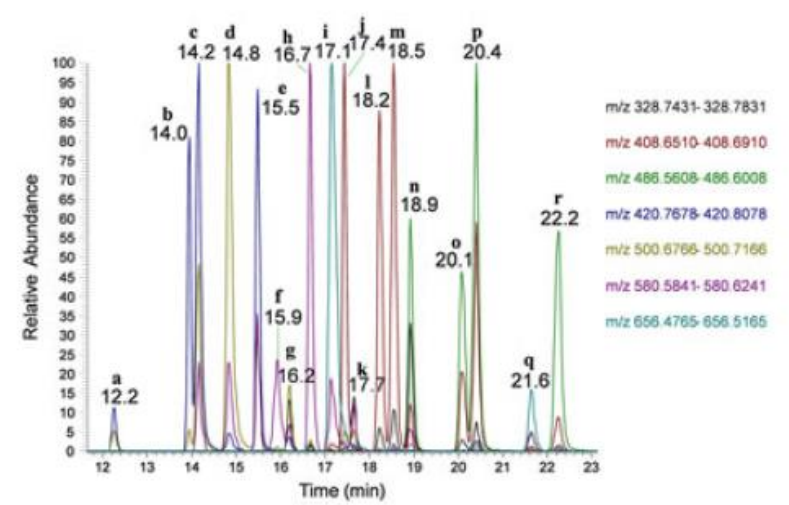
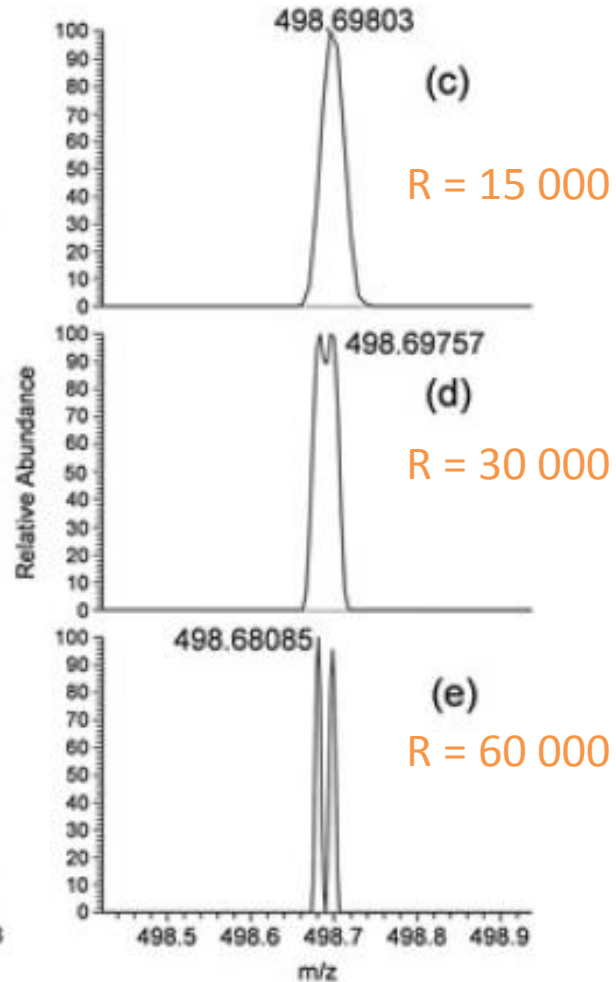
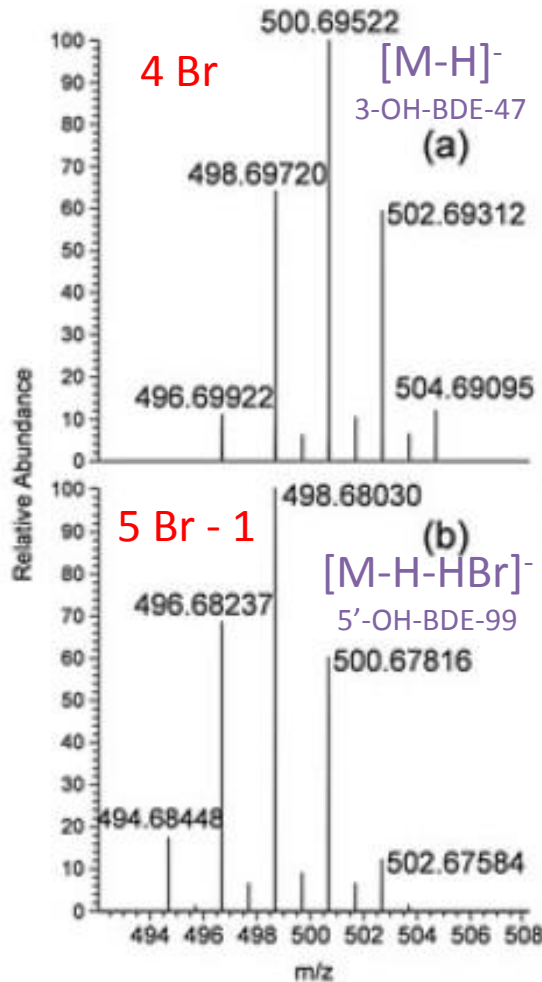
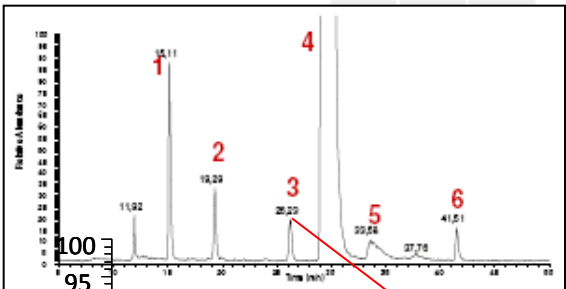


Figure 4. Separation of a PBDE/OH-PBDE mixture (50 pg on-column each) on a PFP column using optimised conditions: (a) 3-OH-BDE-47, (b) 6-OH-BDE-47, (c) 4'-OH-BDE-49 + 3-OH-BDE-100, (d) 3'-OH-BDE-154 + BDE-47, (e) 5'-OH-BDE-99 + 6-OH-BDE-180, (f) BDE-100, (g) BDE-154, (h) BDE-99, (i) 4'-OH-BDE-201, (j) BDE-184, (k) BDE-153, (l) BDE-202, (m) BDE-201, (n) BDE-204, (o) BDE-208, (p) BDE-207, (q) BDE-206, and (r) BDE-209.

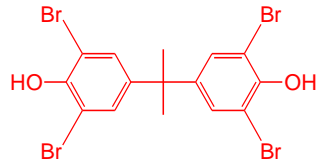
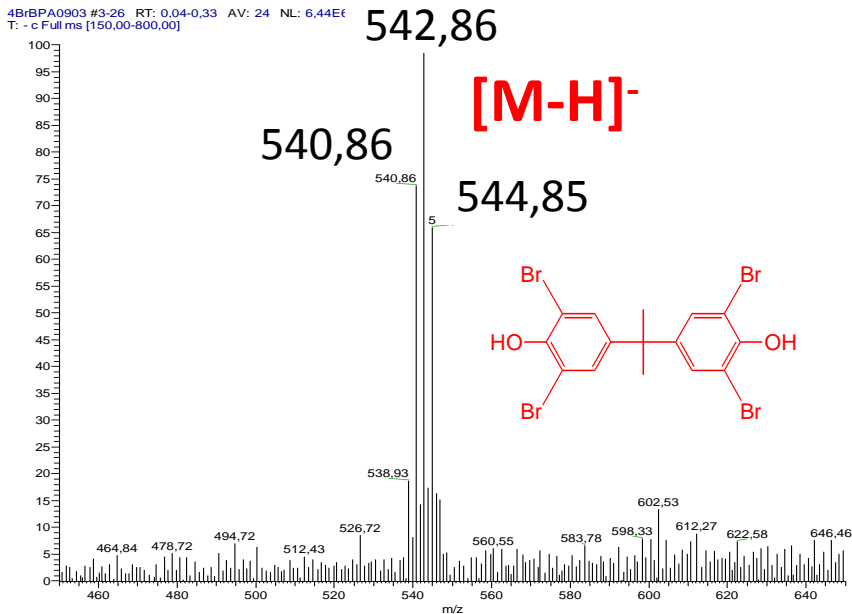
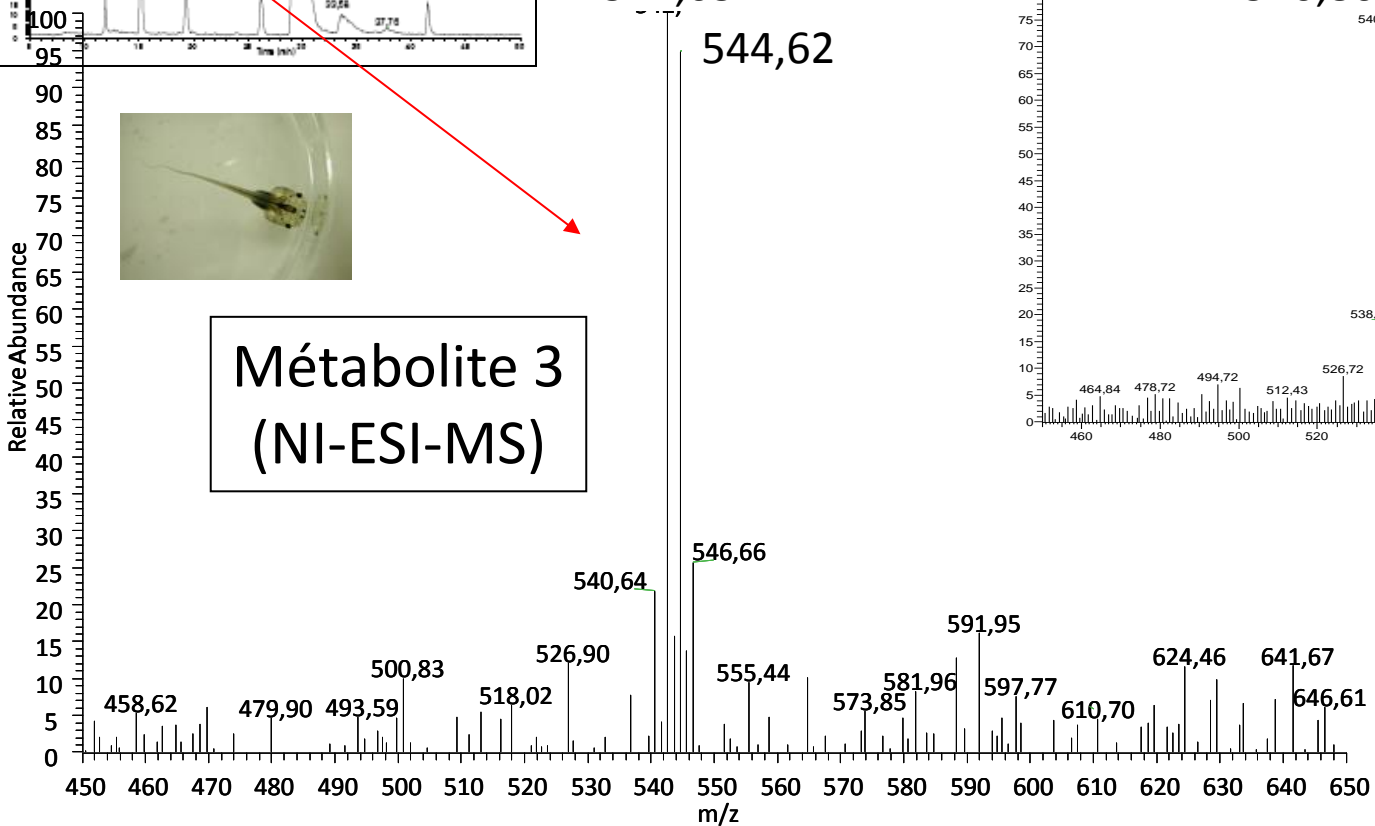
Utilité de la FT-MS pour la confirmation de métabolites : exemple des PBDE



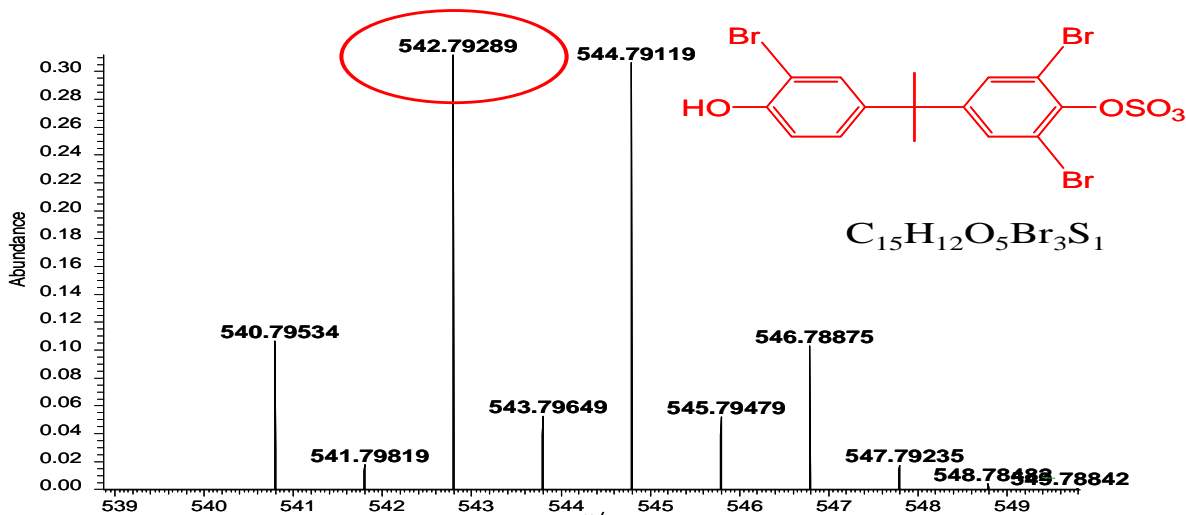
Autre exemple : métabolisme du tétrabromobisphénol-A chez le têtard de Xénope



Métabolite 3
(NI-ESI-MS)



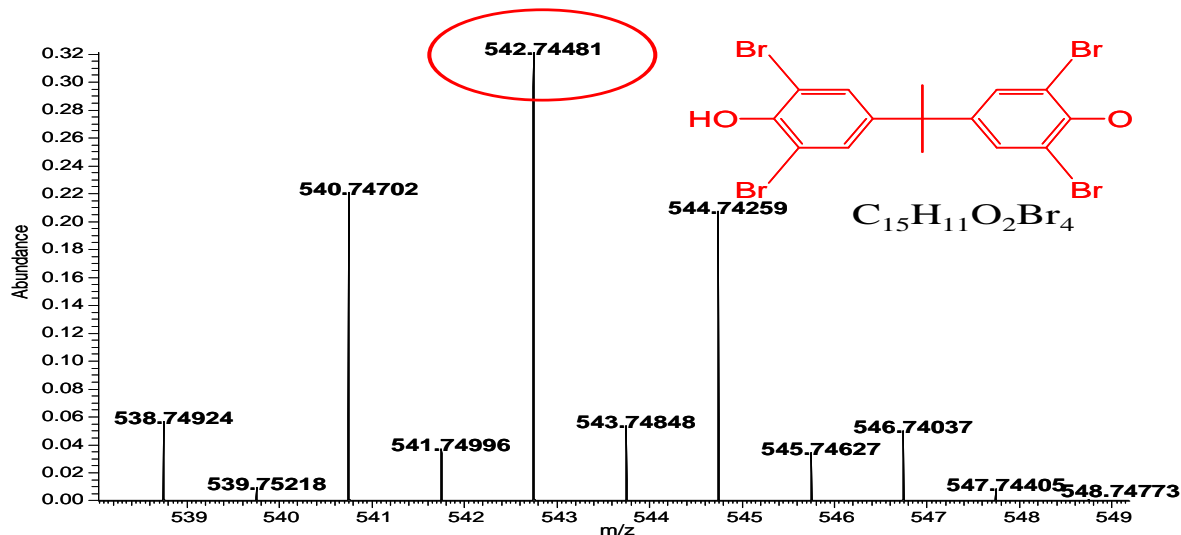
Autre exemple : métabolisme du tetrabromobisphenol-A chez le têtard de Xénope



Exp. 542,79289

C₁₅H₁₂O₅Br₃S
Calc. 542,79296
Δ 0.13 ppm

C₁₅H₁₁O₂Br₄
Calc. 542,74461
Δ 89.1 ppm



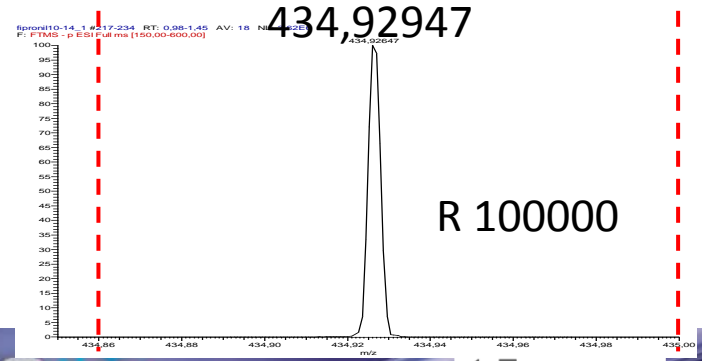
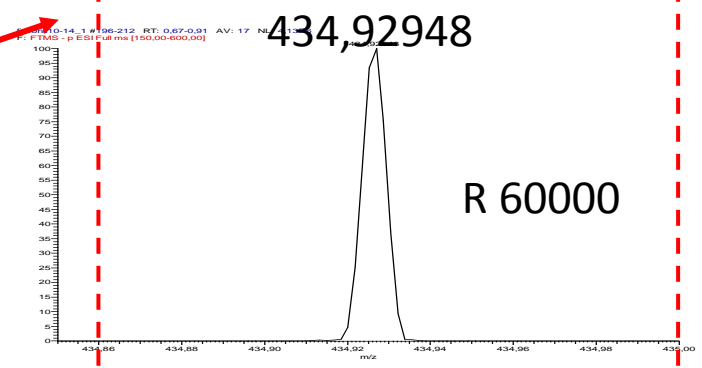
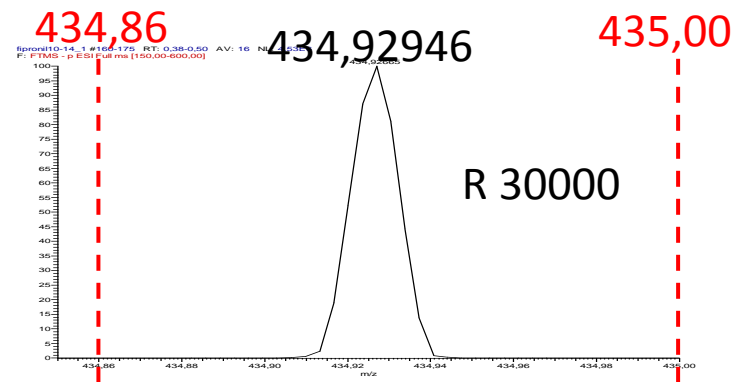
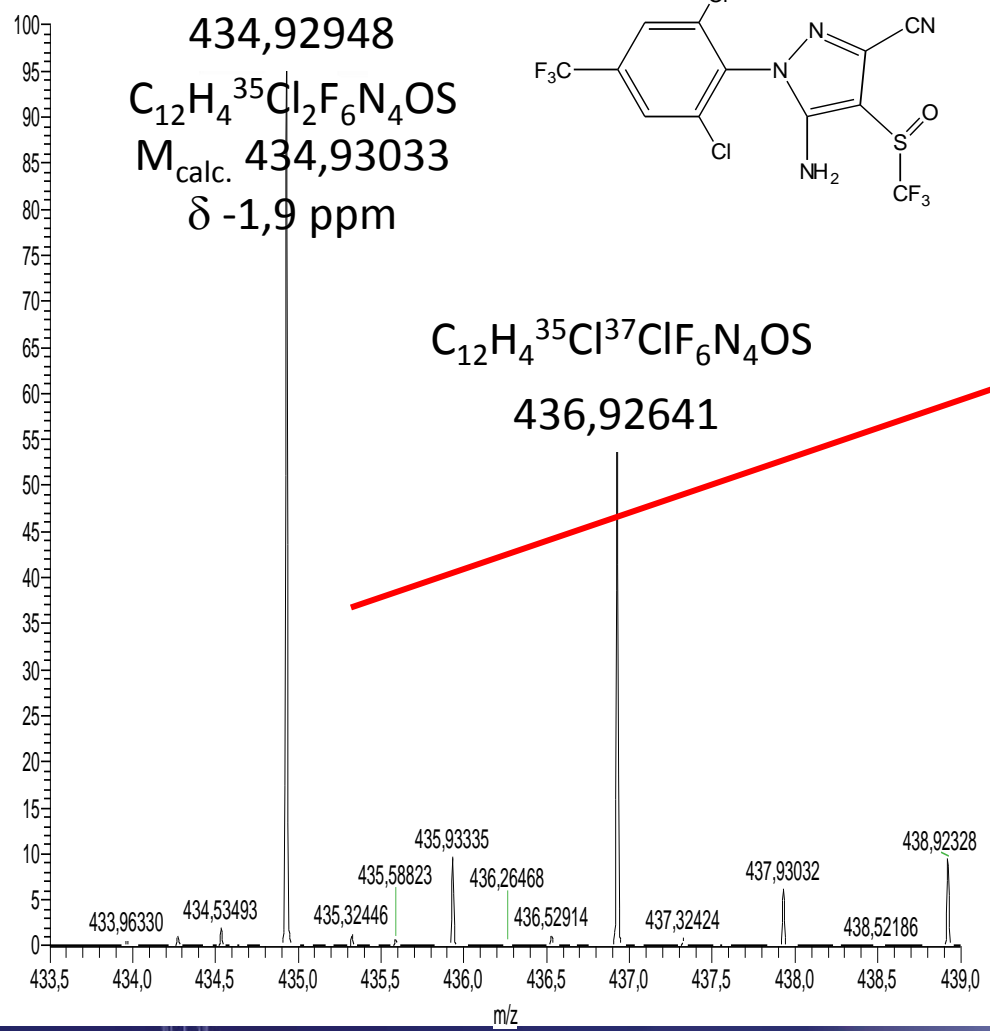
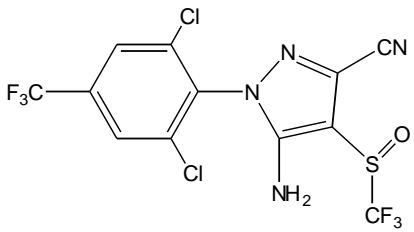
Exp. 542,74481

C₁₅H₁₁O₂Br₄
Calc. 542,74461
Δ 0.37 ppm

C₁₅H₁₂O₅Br₃S
Calc. 542,79296
Δ 88.8 ppm

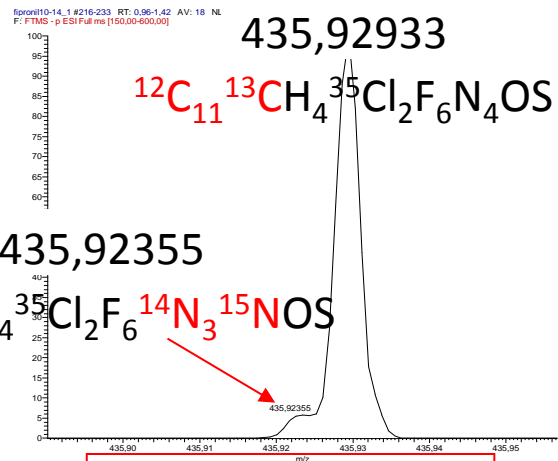
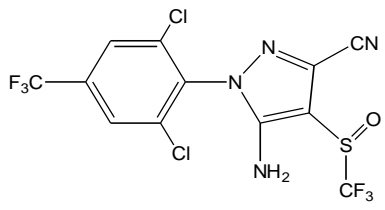
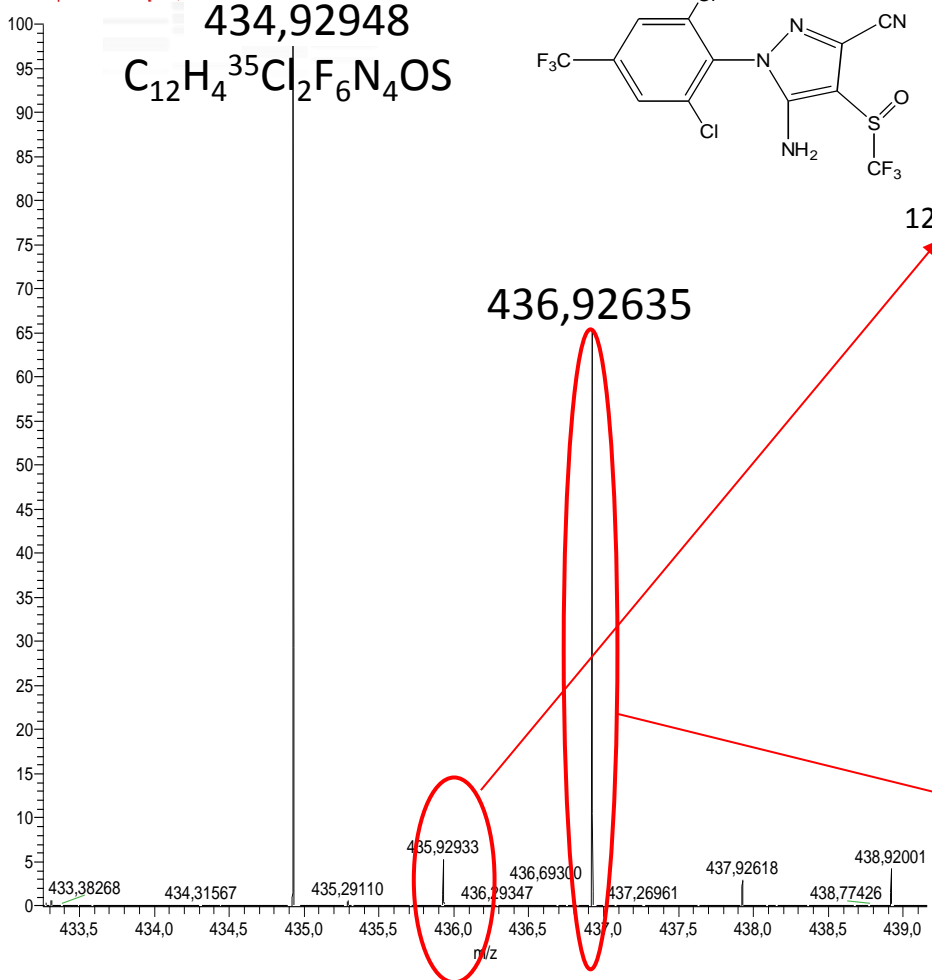
Identification structurale : masse exacte et composition élémentaire

FTMSipro0109 #7-46 RT: 0,06-0,41 AV: 40 NL: 5,80E6
F: FTMS - p ESI Full ms [150,00-600,00]

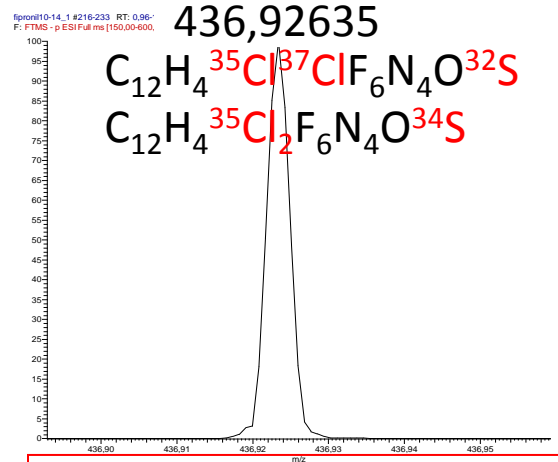


Identification structurale : résolution des massifs isotopiques

fipronil10-14_1 #222-232 RT: 1,12-1,39 AV: 11 NL: 3,56E6
F: FTMS - p ESI Full ms [150,(



$R_{min} = 70000 \rightarrow OK$



$R_{min} = 345000 \rightarrow FT-ICR !!!$

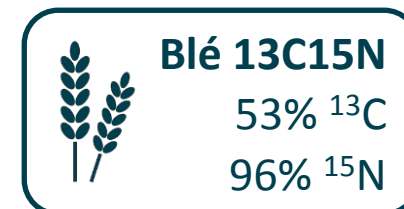
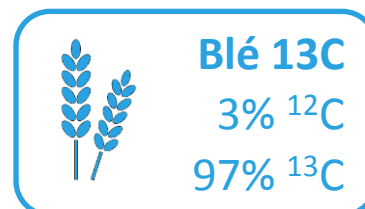
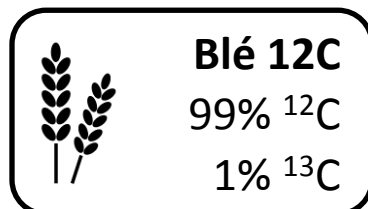
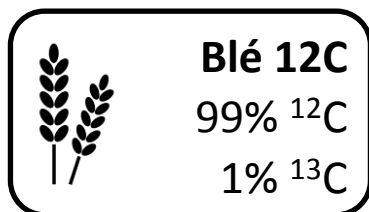
Utilisation de la FT-MS pour l'identification de métabolites fongiques

Application : métabolites secondaires de *Aspergillus fumigatus*

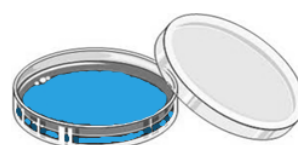
Stratégie : marquage uniforme par isotopes stables (^{13}C ^{15}N)

→ identification de nouveaux métabolites (potentiellement mycotoxines)

→ Discrimination de composés non biologiques



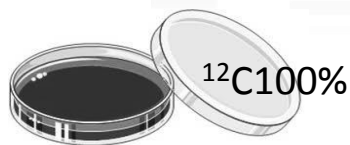
Culture blanche



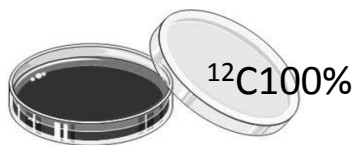
Culture *Aspergillus fumigatus* sur blé



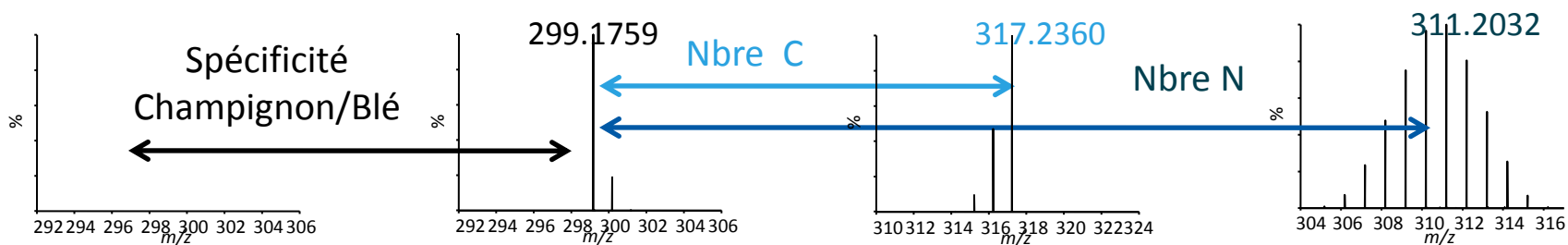
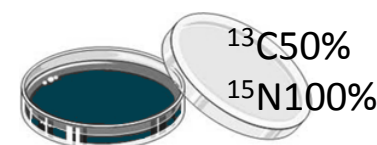
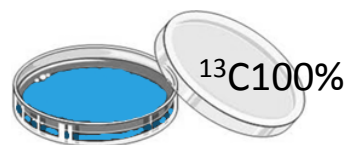
Utilisation de la FT-MS pour l'identification de métabolites fongiques



Blé + Culture blanche

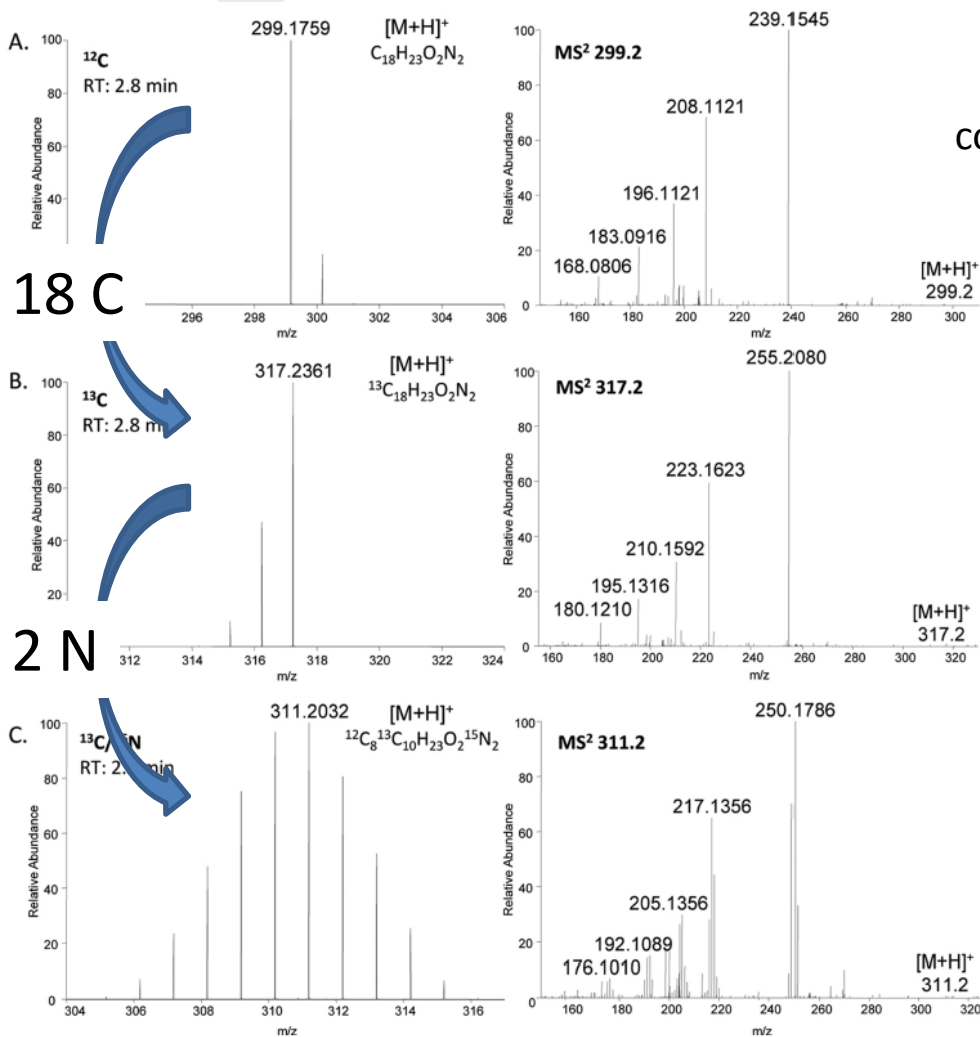


Blé + Culture *Aspergillus fumigatus*

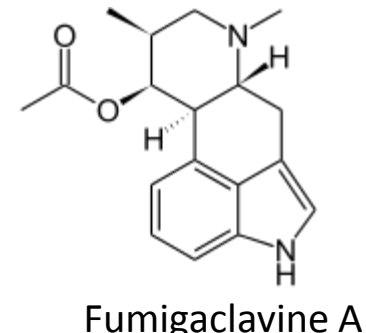
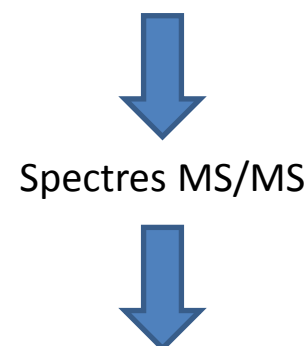


Logiciel “MassCompare” (home-made) : comparaison listes formules brutes + simulation massif isotopique

Identification de la Fumigaclavine A



Logiciel "MassCompare" (home-made):
comparaison listes formules brutes + simulation
massif isotopique + règle de l'azote
1 formule brute ([M+H]⁺: C₁₈H₂₃O₂N₂)



Identification de métabolites chez *Aspergillus fumigatus*

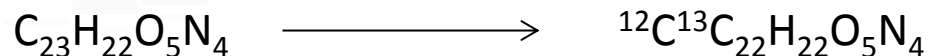
Table 1. Detected Known Metabolites of *A. fumigatus* in 15 Day Old Cultures on Wheat Grains

chemical family	metabolite	formula ^a	ion ^a	RT (min) ^b	¹² C m/z ^c	¹³ C m/z ^c	¹³ C/ ¹⁵ N m/z ^c	
tryptacidins	tryptacidin	C ₁₈ H ₁₆ O ₇ Na	[M + Na] ⁺	27.74	367.0785 0.7 ppm	385.1388 1 ppm	376.1090 0.1 ppm	
	questin	C ₁₆ H ₁₁ O ₅	[M - H] ⁻	27.82	283.0620 3 ppm	299.1159 3.6 ppm	292.0922 3.1 ppm	
	monomethylmochrin	C ₁₈ H ₁₇ O ₇	[M - H] ⁻	28.07	345.0989 3 ppm	363.1599 4.2 ppm	355.1321 1.6 ppm	
anthraquinones and anthrones	emodin	C ₁₅ H ₆ O ₅	[M - H] ⁻	36.20	269.0461 2.2 ppm	284.09650 2.2 ppm	495.2653 1.2 ppm	
pseurotins	pseurotin A	C ₂₂ H ₂₇ NO ₈ Na	[M + Na] ⁺	17.25	454.1469 0.7 ppm	476.2205 1.1 ppm	467.1827 3.9 ppm	
helvolic acid	helvolic acid	C ₃₃ H ₄₃ O ₈	[M - H] ⁻	37.96	567.2975 2.1 ppm	600.4079 1.4 ppm	584.3544 1.8 ppm	
fumigadavins	fumigadavine A	C ₁₈ H ₂₃ N ₂ O ₂	[M + H] ⁺	2.8	299.1759 1.8 ppm	317.2360 0.9 ppm	311.2032 0.6 ppm	
	fumigadavine B	C ₁₆ H ₂₁ N ₂ O	[M + H] ⁺	2.5	257.1651 1.0 ppm	273.2191 2.1 ppm	268.1889 0.6 ppm	
	festuclavin	C ₁₆ H ₂₁ N ₂	[M + H] ⁺	4.17	241.1699 0.1 ppm	257.2236 0.2 ppm	252.1939 1.1 ppm	
fumitremorgins	fumitremorgin B	C ₂₇ H ₃₂ N ₂ O ₄	[M - H ₂ O + H] ⁺	37.3	462.2385 0.4 ppm	489.3285 1.6 ppm	480.2793 1.7 ppm	
	fumitremorgin C	C ₂₂ H ₂₆ N ₂ O ₃	[M + H] ⁺	23.47	380.1968 0.1 ppm	402.2692 3.7 ppm	392.2168 3.3 ppm	
	verruculogen		C ₂₇ H ₃₂ N ₂ O ₆	[M - H ₂ O + H] ⁺	37.7	494.2279 1.2 ppm	521.3183 1.5 ppm	512.2681 3.6 ppm
			C ₂₇ H ₃₂ N ₂ O ₇ Na	[M + Na] ⁺	37.7	534.2202 1.6 ppm	561.3097 3.8 ppm	551.2567 4.4 ppm
		C ₂₇ H ₃₂ N ₂ O ₇	[M - H] ⁻	35.41	510.2257 2.3 ppm	537.3164 2.4 ppm	527.2636 2 ppm	
	TR-2	C ₂₂ H ₂₆ N ₂ O ₆	[M - H] ⁻	6.86	428.1840 3.0 ppm	450.2579 3 ppm	443.2150 2.2 ppm	
	cyclotryprostatin A	C ₂₂ H ₂₄ N ₂ O ₅	[M - H] ⁻	10.94	410.1734 3.1 ppm	432.2471 3 ppm	425.2043 2.0 ppm	
	spirotryprostatin A	C ₂₂ H ₂₆ N ₂ O ₄	[M + H] ⁺	15.04	396.1900 4.4 ppm	418.2638 4.1 ppm	409.2173 2.3 ppm	
	spirotryprostatin B	C ₂₁ H ₂₂ N ₂ O ₃	[M + H] ⁺	22.61	364.1618 3.3 ppm	385.2344 4.2 ppm	376.186 1.1 ppm	
	compound 1 ^d	C ₂₂ H ₂₄ N ₂ O ₆	[M - H] ⁻	13.21	426.1684 3.2 ppm	448.2423 3.2 ppm	440.1960 2.2 ppm	
	C ₂₂ H ₂₂ N ₂ O ₆ Na	[M + Na] ⁺	13.21	450.1633 0.4 ppm	472.2377 0.9 ppm	464.1894 4.6 ppm		
fumiquinazolines	fumiquinazoline C	C ₂₄ H ₂₂ N ₂ O ₄	[M + H] ⁺	23.56	444.1664 0.4 ppm	468.2463 1.6 ppm	462.1945 2 ppm	
tryptoquinolines	tryptoquinoline F	C ₂₂ H ₁₉ N ₄ O ₄	[M + H] ⁺	20.12	403.1405 0.1 ppm	425.2135 0.8 ppm	419.1685 0.1 ppm	
fumigallins	fumagillin	C ₂₀ H ₂₄ O ₇ Na	[M + Na] ⁺	37.00	481.2193 0.8 ppm	507.3061 1.6 ppm	495.2653 1.2 ppm	

≈ 20 métabolites identifiés

Identification d'un métabolite « artefact »

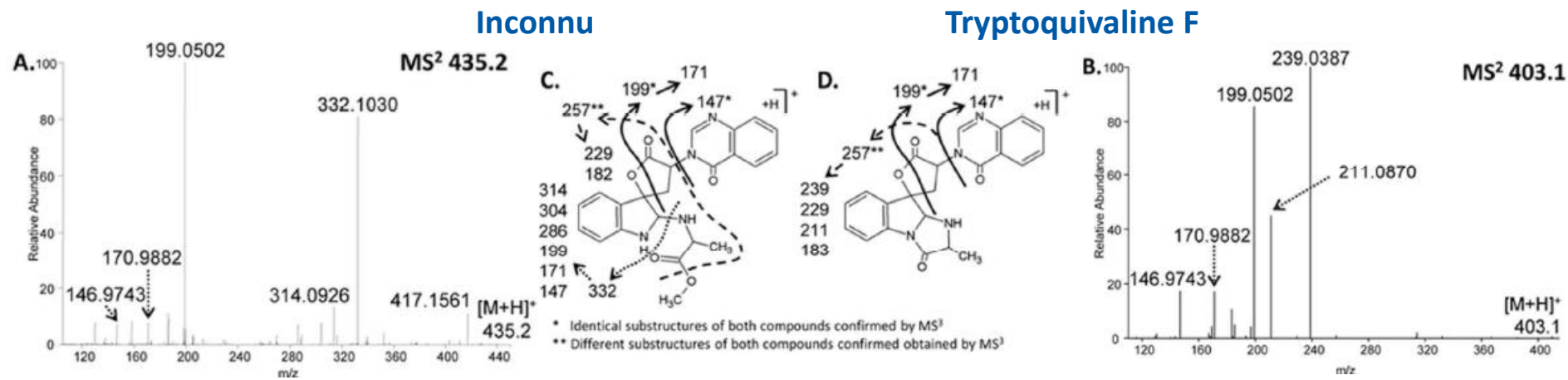
métabolite à RT=16min présentant 1 ^{12}C et 22 ^{13}C dans les échantillons 100% ^{13}C .



→ Incorporation d'un atome de carbone post-biosynthèse?

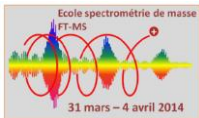
1ère info : non détecté dans les échantillons dissous dans CH_3CN au lieu de CH_3OH

2ième info : MS^n :

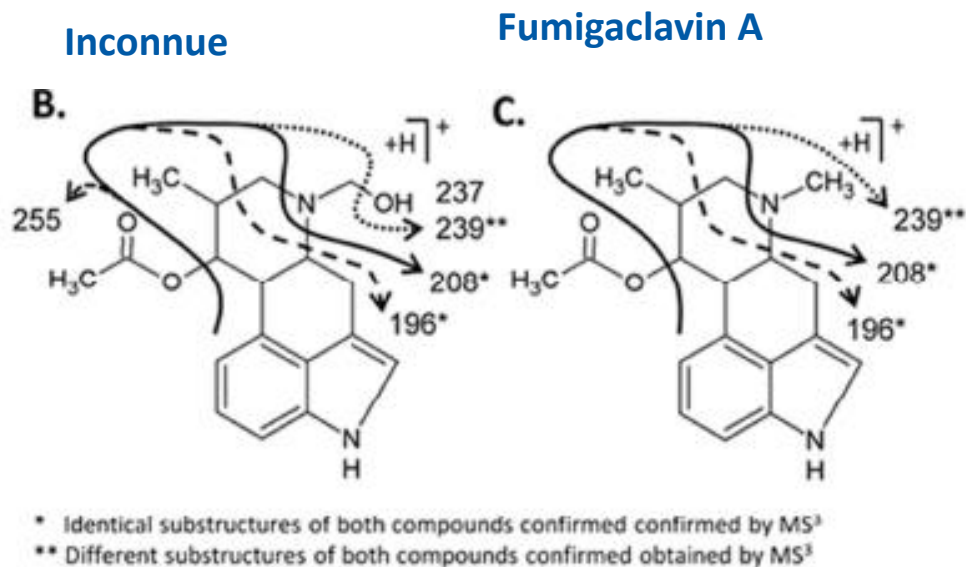
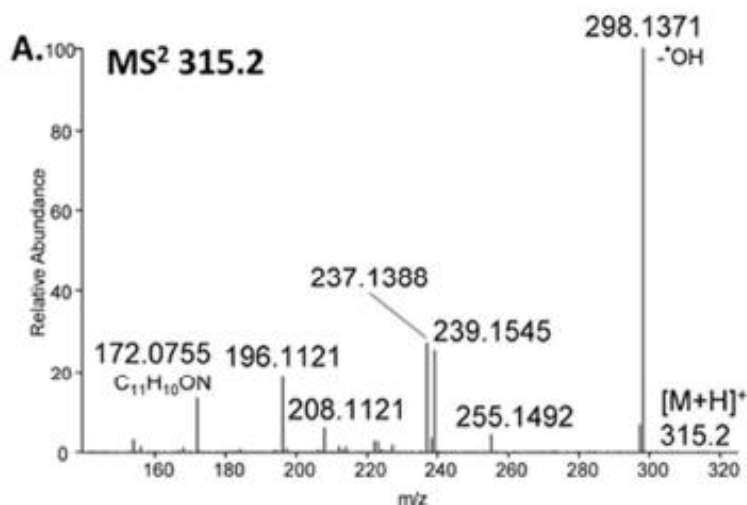


Dégradation de la tryptoquivaline F par hydrolyse d'une fonction amide cyclique + méthylation de l'acide carboxylique formé

Identification de nouveaux métabolites fongiques



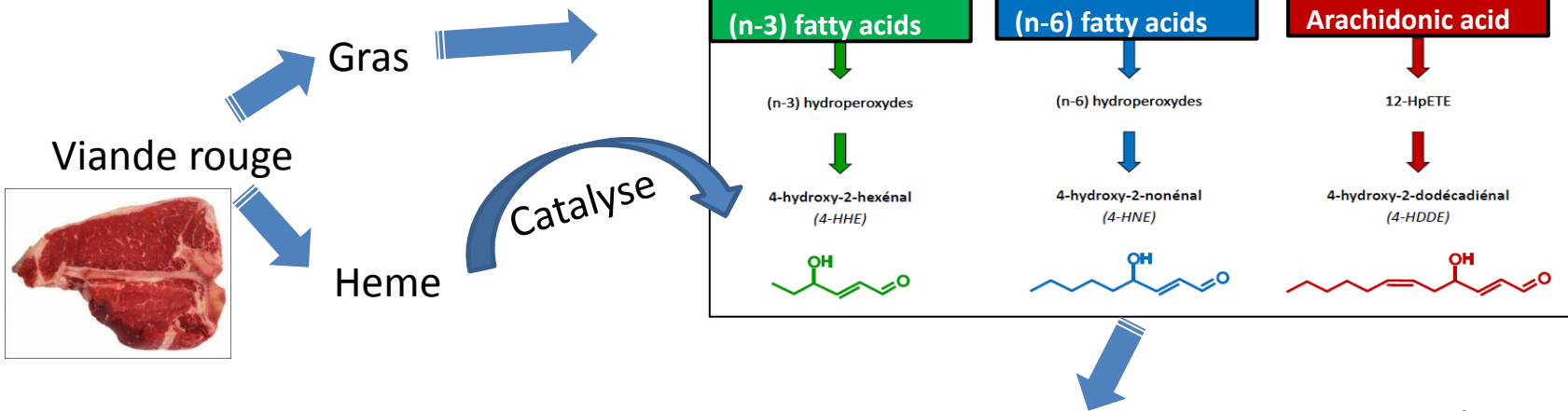
Nouveau métabolite : la « Fumigaclavin D »



Analyse de métabolites réactifs : exemple des alcénals



Régime pro-oxydant (viande rouge) et promotion du cancer colorectal (CRC)

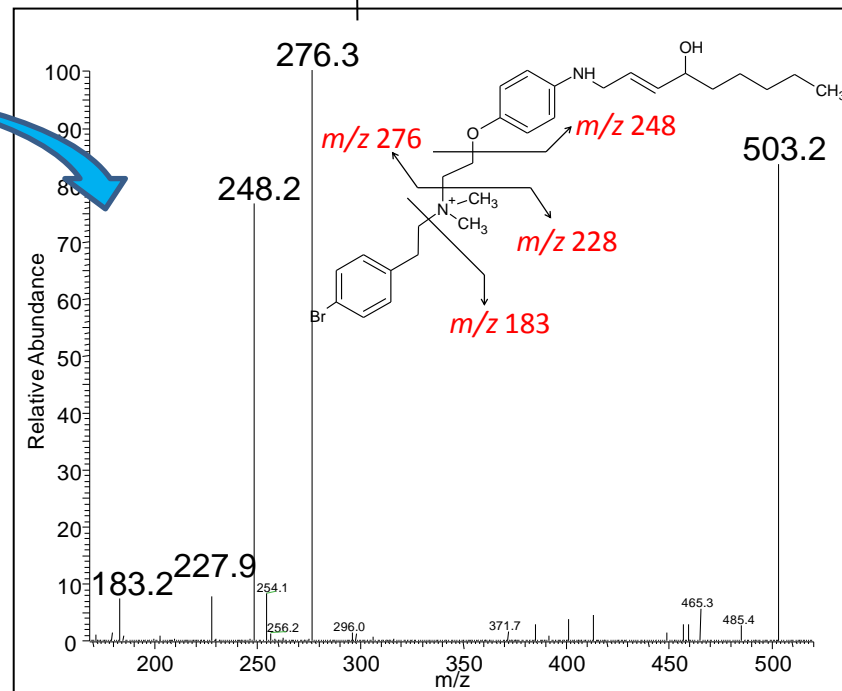
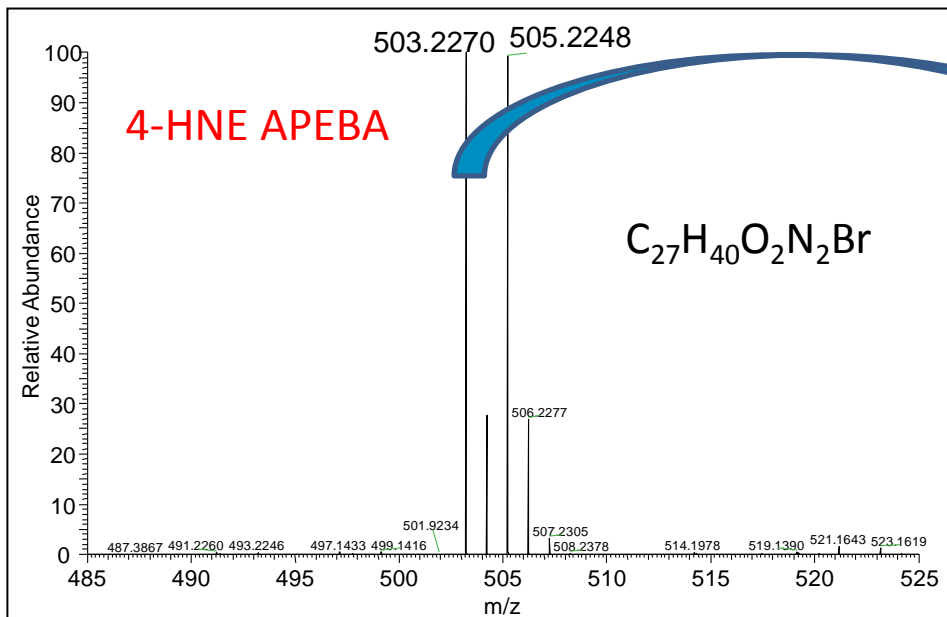
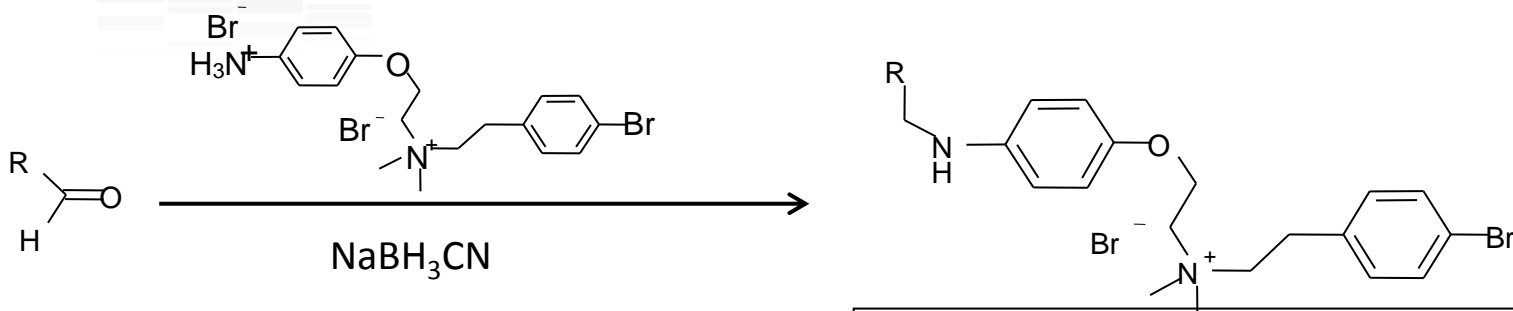


Composés réactifs : carbonylation des protéines cellulaires / adduits ADN
Propriétés cytotoxiques des alcénals (HNE / HHE)

Autres aldéhydes (inconnus ?) formés dans la lumière intestinale ?
Chaînon manquant entre viande rouge et risque de CRC mis en évidence dans les études épidémiologiques ?

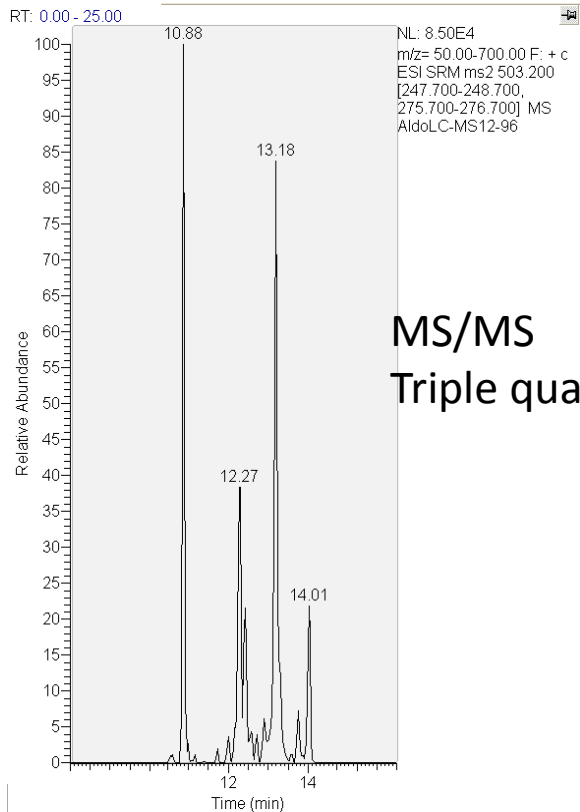
Piégeage et analyse des aldéhydes libres

4-(2-((4-bromophenethyl)dimethyl ammonio) ethoxy)benzenaminium dibromide (4-APEBA)

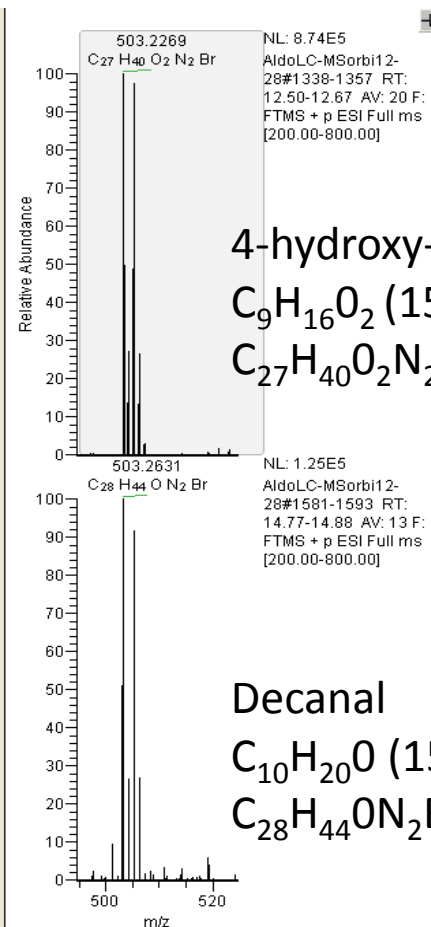
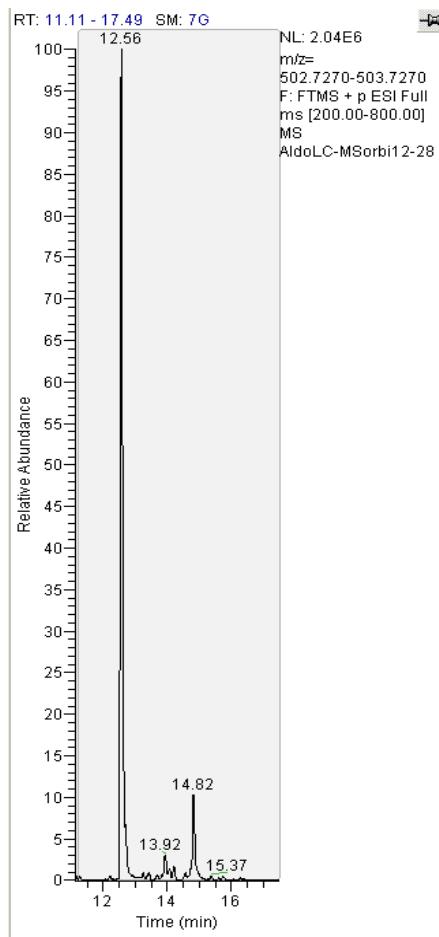


FT-MS et différentiation d'isobares

HNE (Mw156)
Decanal (Mw 156)



MS/MS
Triple quad.



Stratégie : « aldéhydrique » des eaux fécales



Eaux fécales

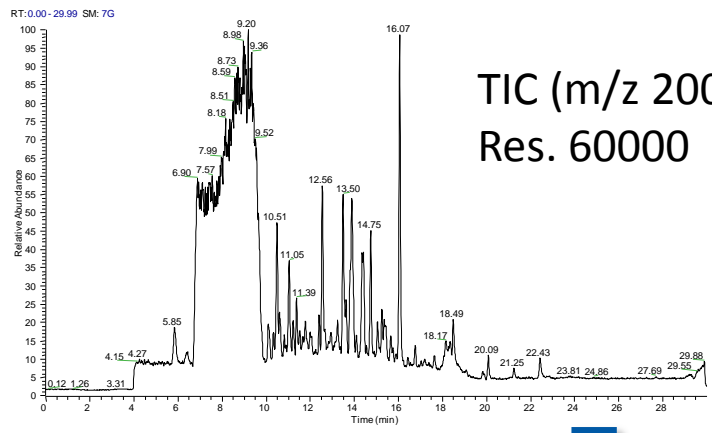


Dérivés APEBA synthétisés

LC-(+)ESI-HRMS

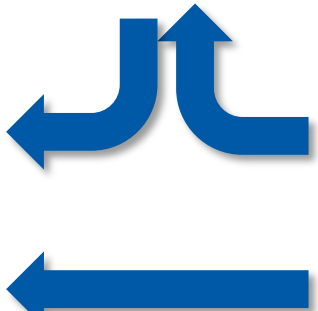


Identification MSⁿ



TIC (m/z 200-800)
Res. 60000

Liste d'aldéhydes libres dans les eaux fécales



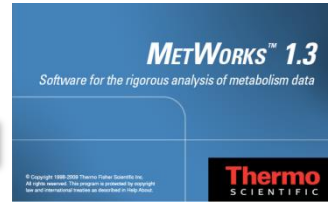
Inconnus

Connus
(standard disponible)

Sample Name	Retention Time	Mass	Formula	Mass Error	Abundance	Retention Time	Mass	Formula	Mass Error	Abundance
1	21.73	170.021	C ₁₀ H ₁₆ O	1.000	1000	21.73	170.021	C ₁₀ H ₁₆ O	1.000	1000
2	22.48	181.030	C ₁₁ H ₁₈ O	1.000	1000	22.48	181.030	C ₁₁ H ₁₈ O	1.000	1000
3	22.81	192.039	C ₁₂ H ₂₀ O	1.000	1000	22.81	192.039	C ₁₂ H ₂₀ O	1.000	1000
4	22.87	203.048	C ₁₃ H ₂₂ O	1.000	1000	22.87	203.048	C ₁₃ H ₂₂ O	1.000	1000
5	22.87	214.057	C ₁₄ H ₂₄ O	1.000	1000	22.87	214.057	C ₁₄ H ₂₄ O	1.000	1000
6	22.87	225.066	C ₁₅ H ₂₆ O	1.000	1000	22.87	225.066	C ₁₅ H ₂₆ O	1.000	1000
7	22.87	236.075	C ₁₆ H ₂₈ O	1.000	1000	22.87	236.075	C ₁₆ H ₂₈ O	1.000	1000
8	22.87	247.084	C ₁₇ H ₃₀ O	1.000	1000	22.87	247.084	C ₁₇ H ₃₀ O	1.000	1000
9	22.87	258.093	C ₁₈ H ₃₂ O	1.000	1000	22.87	258.093	C ₁₈ H ₃₂ O	1.000	1000
10	22.87	269.102	C ₁₉ H ₃₄ O	1.000	1000	22.87	269.102	C ₁₉ H ₃₄ O	1.000	1000
11	22.87	280.111	C ₂₀ H ₃₆ O	1.000	1000	22.87	280.111	C ₂₀ H ₃₆ O	1.000	1000
12	22.87	291.120	C ₂₁ H ₃₈ O	1.000	1000	22.87	291.120	C ₂₁ H ₃₈ O	1.000	1000
13	22.87	302.129	C ₂₂ H ₄₀ O	1.000	1000	22.87	302.129	C ₂₂ H ₄₀ O	1.000	1000
14	22.87	313.138	C ₂₃ H ₄₂ O	1.000	1000	22.87	313.138	C ₂₃ H ₄₂ O	1.000	1000
15	22.87	324.147	C ₂₄ H ₄₄ O	1.000	1000	22.87	324.147	C ₂₄ H ₄₄ O	1.000	1000
16	22.87	335.156	C ₂₅ H ₄₆ O	1.000	1000	22.87	335.156	C ₂₅ H ₄₆ O	1.000	1000
17	22.87	346.165	C ₂₆ H ₄₈ O	1.000	1000	22.87	346.165	C ₂₆ H ₄₈ O	1.000	1000
18	22.87	357.174	C ₂₇ H ₅₀ O	1.000	1000	22.87	357.174	C ₂₇ H ₅₀ O	1.000	1000
19	22.87	368.183	C ₂₈ H ₅₂ O	1.000	1000	22.87	368.183	C ₂₈ H ₅₂ O	1.000	1000
20	22.87	379.192	C ₂₉ H ₅₄ O	1.000	1000	22.87	379.192	C ₂₉ H ₅₄ O	1.000	1000
21	22.87	390.201	C ₃₀ H ₅₆ O	1.000	1000	22.87	390.201	C ₃₀ H ₅₆ O	1.000	1000
22	22.87	401.210	C ₃₁ H ₅₈ O	1.000	1000	22.87	401.210	C ₃₁ H ₅₈ O	1.000	1000
23	22.87	412.219	C ₃₂ H ₆₀ O	1.000	1000	22.87	412.219	C ₃₂ H ₆₀ O	1.000	1000
24	22.87	423.228	C ₃₃ H ₆₂ O	1.000	1000	22.87	423.228	C ₃₃ H ₆₂ O	1.000	1000
25	22.87	434.237	C ₃₄ H ₆₄ O	1.000	1000	22.87	434.237	C ₃₄ H ₆₄ O	1.000	1000
26	22.87	445.246	C ₃₅ H ₆₆ O	1.000	1000	22.87	445.246	C ₃₅ H ₆₆ O	1.000	1000
27	22.87	456.255	C ₃₆ H ₆₈ O	1.000	1000	22.87	456.255	C ₃₆ H ₆₈ O	1.000	1000
28	22.87	467.264	C ₃₇ H ₇₀ O	1.000	1000	22.87	467.264	C ₃₇ H ₇₀ O	1.000	1000
29	22.87	478.273	C ₃₈ H ₇₂ O	1.000	1000	22.87	478.273	C ₃₈ H ₇₂ O	1.000	1000
30	22.87	489.282	C ₃₉ H ₇₄ O	1.000	1000	22.87	489.282	C ₃₉ H ₇₄ O	1.000	1000
31	22.87	500.291	C ₄₀ H ₇₆ O	1.000	1000	22.87	500.291	C ₄₀ H ₇₆ O	1.000	1000
32	22.87	511.300	C ₄₁ H ₇₈ O	1.000	1000	22.87	511.300	C ₄₁ H ₇₈ O	1.000	1000
33	22.87	522.309	C ₄₂ H ₈₀ O	1.000	1000	22.87	522.309	C ₄₂ H ₈₀ O	1.000	1000
34	22.87	533.318	C ₄₃ H ₈₂ O	1.000	1000	22.87	533.318	C ₄₃ H ₈₂ O	1.000	1000
35	22.87	544.327	C ₄₄ H ₈₄ O	1.000	1000	22.87	544.327	C ₄₄ H ₈₄ O	1.000	1000
36	22.87	555.336	C ₄₅ H ₈₆ O	1.000	1000	22.87	555.336	C ₄₅ H ₈₆ O	1.000	1000
37	22.87	566.345	C ₄₆ H ₈₈ O	1.000	1000	22.87	566.345	C ₄₆ H ₈₈ O	1.000	1000
38	22.87	577.354	C ₄₇ H ₉₀ O	1.000	1000	22.87	577.354	C ₄₇ H ₉₀ O	1.000	1000
39	22.87	588.363	C ₄₈ H ₉₂ O	1.000	1000	22.87	588.363	C ₄₈ H ₉₂ O	1.000	1000
40	22.87	599.372	C ₄₉ H ₉₄ O	1.000	1000	22.87	599.372	C ₄₉ H ₉₄ O	1.000	1000
41	22.87	610.381	C ₅₀ H ₉₆ O	1.000	1000	22.87	610.381	C ₅₀ H ₉₆ O	1.000	1000
42	22.87	621.390	C ₅₁ H ₉₈ O	1.000	1000	22.87	621.390	C ₅₁ H ₉₈ O	1.000	1000
43	22.87	632.399	C ₅₂ H ₁₀₀ O	1.000	1000	22.87	632.399	C ₅₂ H ₁₀₀ O	1.000	1000
44	22.87	643.408	C ₅₃ H ₁₀₂ O	1.000	1000	22.87	643.408	C ₅₃ H ₁₀₂ O	1.000	1000
45	22.87	654.417	C ₅₄ H ₁₀₄ O	1.000	1000	22.87	654.417	C ₅₄ H ₁₀₄ O	1.000	1000
46	22.87	665.426	C ₅₅ H ₁₀₆ O	1.000	1000	22.87	665.426	C ₅₅ H ₁₀₆ O	1.000	1000
47	22.87	676.435	C ₅₆ H ₁₀₈ O	1.000	1000	22.87	676.435	C ₅₆ H ₁₀₈ O	1.000	1000
48	22.87	687.444	C ₅₇ H ₁₁₀ O	1.000	1000	22.87	687.444	C ₅₇ H ₁₁₀ O	1.000	1000
49	22.87	698.453	C ₅₈ H ₁₁₂ O	1.000	1000	22.87	698.453	C ₅₈ H ₁₁₂ O	1.000	1000
50	22.87	709.462	C ₅₉ H ₁₁₄ O	1.000	1000	22.87	709.462	C ₅₉ H ₁₁₄ O	1.000	1000

Liste de dérivés bromés

Filtration du signal massif isotopique
Δ = 1,9979 u.m.a.
Défaut de masse

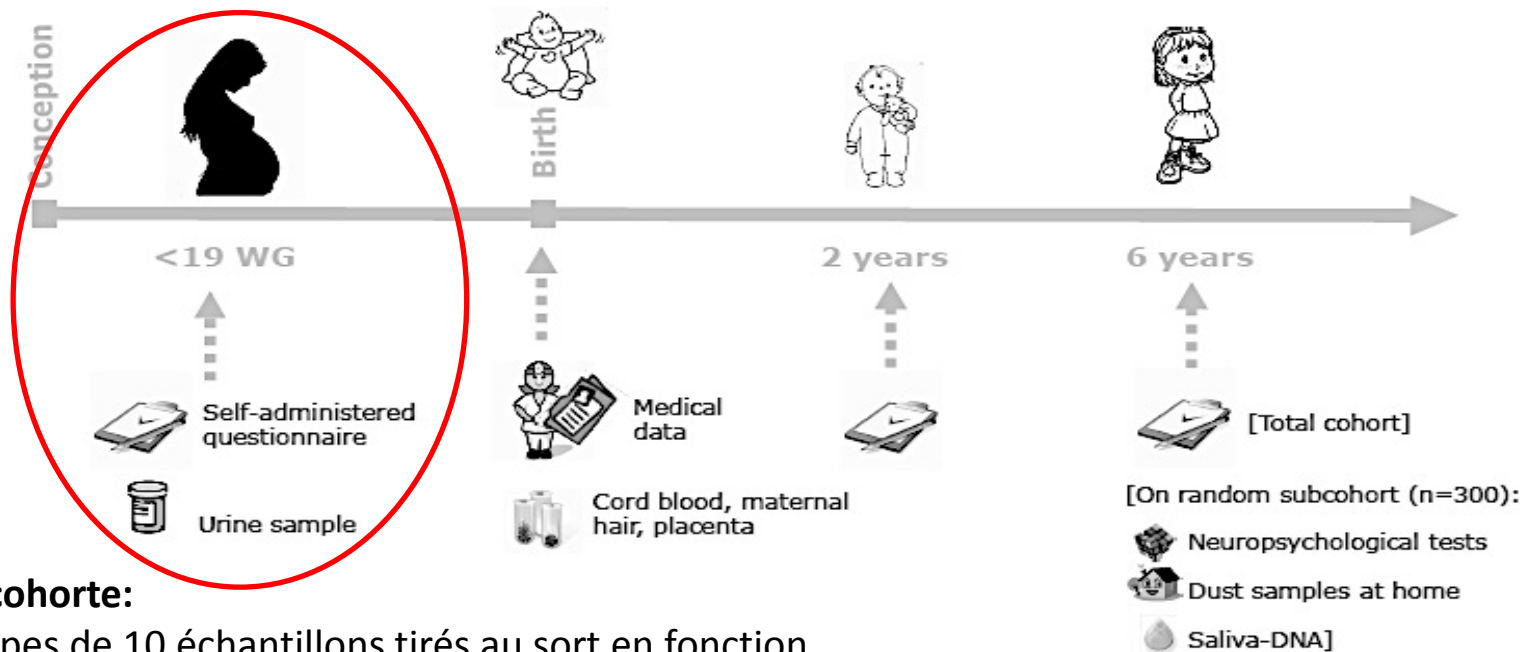


Recherche de métabolites urinaires marqueurs d'exposition

Cohorte PELAGIE : Perturbateurs Endocriniens Etude Longitudinale sur les Anomalies de la Grossesse, l'Infertilité et l'Enfance

INSERM (Coord. Sylvaine Cordier)

environ 3500 femmes enceintes, région Bretagne , entre 2002 et 2006



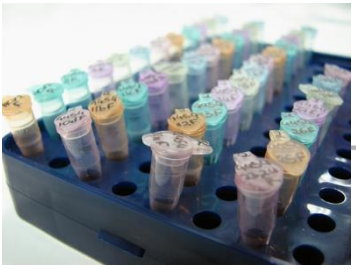
Sous-cohorte:

4 groupes de 10 échantillons tirés au sort en fonction de la part de culture de céréale (%) dans la commune de résidence

urbain / peu exposé / exposé / très exposé

Recherche de métabolites urinaires marqueurs d'exposition

urines



LC-ESI-HRMS



Cartographie des cultures
Pratiques culturales...

Acéphate	Dichlorvos
Anthraquinone	Diméthachlor
Azoxphos-méthyl	Epoxyconazole
Actynitroben	Ethephon
Benfuracab	Fipronil
Carbendazim	Furazolidone
Carbofuran	Imazalil
Carbosulfon	Phoxalone
Chloromep	Procymidone
Chlorpyrifos	Propachlor
Cyfluthrin	Permethrin
Cyfluthrin	Quazalop-éthyl
Cyfluthrin	Tebuconazole
Cyfluthrin	Malathion
Cyfluthrin	Metsachlor
Cyfluthrin	Thiophanate-méthyl
Cyfluthrin	Métoprolole
Cyfluthrin	Trifluralin
Deltaméthrin	Méthidathion

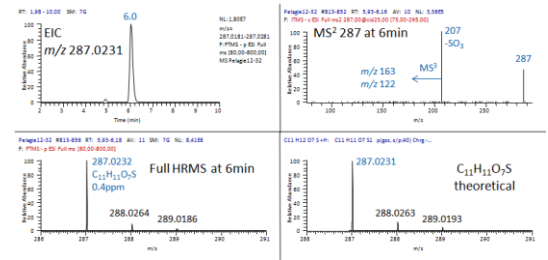
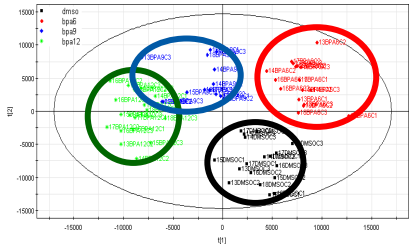
47 pesticides

In silico + in biblio
460 métabolites

Monitored signals
upgradable

exposomics
workflow

Production de « standards » par
expérimentation animale



E. Jamin, L. Debrauwer et al.
Anal. Bioanal. Chem., 2014, 406, 1149.

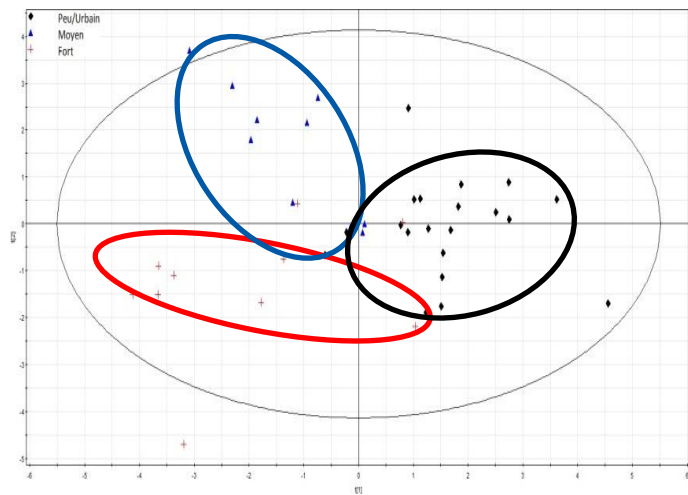


Recherche de métabolites urinaires marqueurs d'exposition

> Mode négatif

128 molécules « suspectes » détectées
24 métabolites pertinents → analyse statistique
7 pesticides correspondant :
Cymoxanil, Quizalofop-éthyl, Procymidone, Fenpropimorphe, Carbofuran, Chlorprophame, Azoxystrobine

> PLS-DA (OSC) sur les 24 métabolites:



> Mode Positif

33 molécules « suspectes » détectées
0 molécule pertinente
- *nombre de variables trop faible*
- *Pesticides = identiques mode négatif*

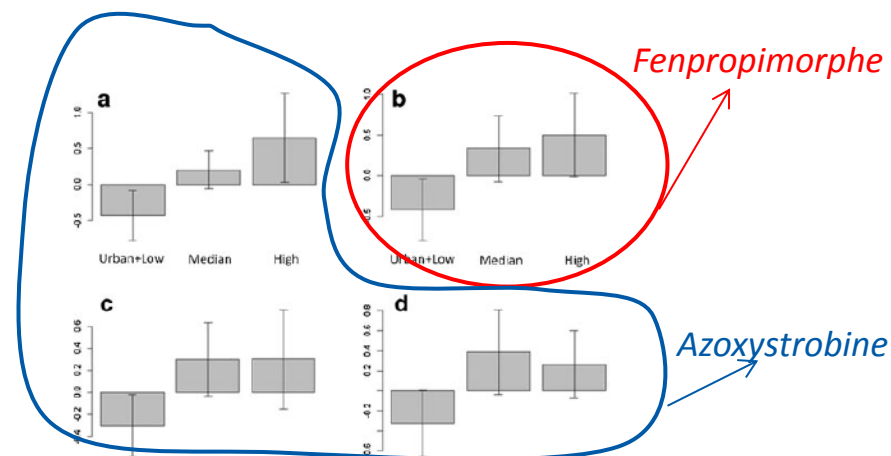
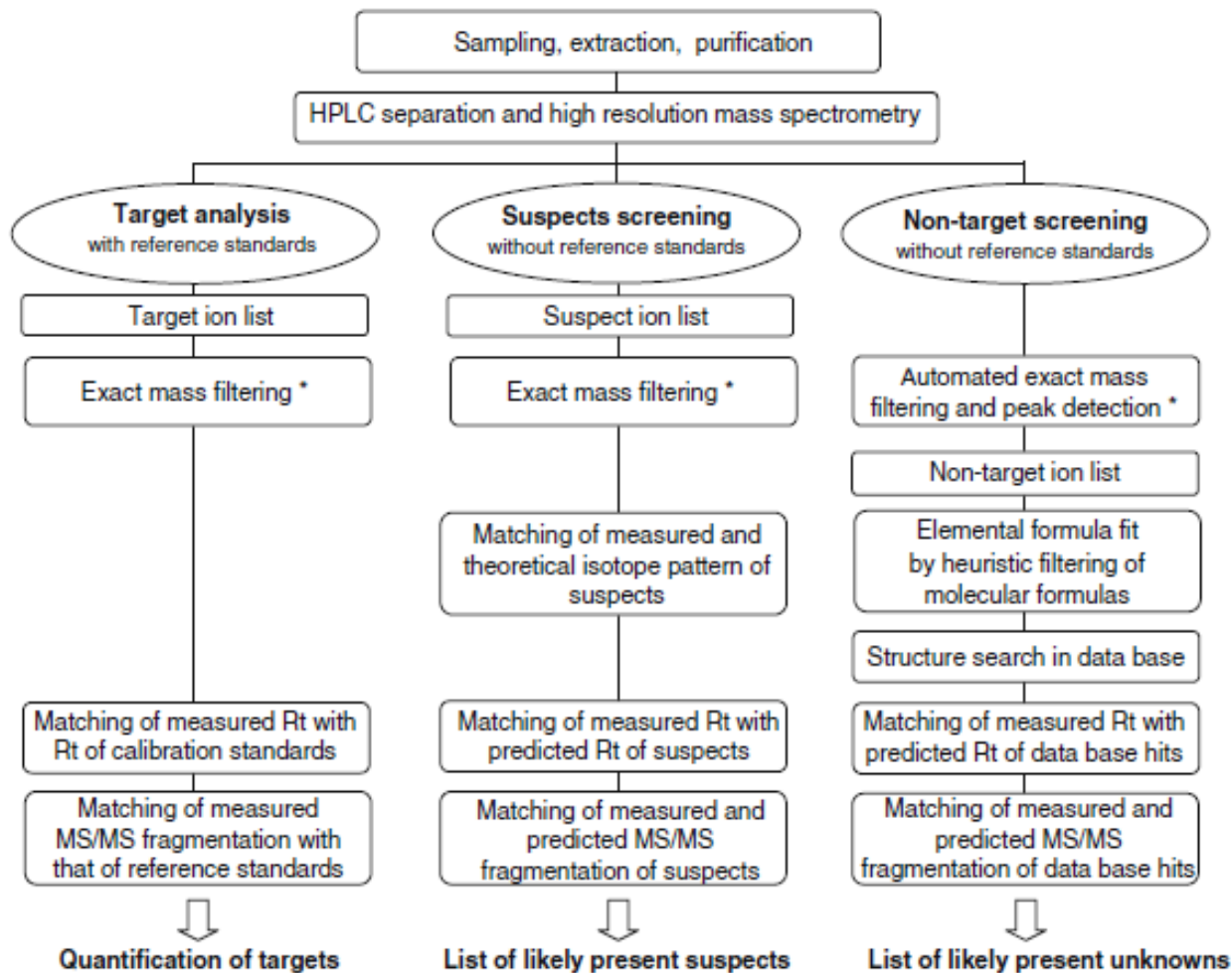


Fig. 5 Variation of filtered normalized signals of (a) methyl-2-(2-hydroxyphenyl)-3-methoxyacrylate sulfate, (b) 2-methyl-2-phenylpropanoic acid, (c) methyl-2-(2-hydroxyphenyl)-3-methoxyacrylate glucuronide (1; *E* or *Z*), and (d) methyl-2-(2-hydroxyphenyl)-3-methoxyacrylate glucuronide (2; *E* or *Z*) in human urine samples

- Mise en évidence de marqueurs pertinents pour du biomonitoring (screening ciblé)
- Application au screening multi-résidus (familles chimiques, polluants, contaminants ≠)

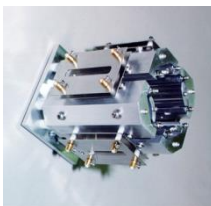
Comment gérer les inconnus ?

Fig. 1 Comparison of systematic workflows for (i) quantitative target analysis with reference standards, (ii) suspects screening without reference standards, and (iii) non-target screening of unknowns in environmental samples by using LC-high resolution (tandem) mass spectrometry.
*Note that the m/z range of the extraction window for the exact mass filtering depends on the mass accuracy and the resolving power of the mass spectrometer used



Screening non-ciblé de contaminants par FT-MS

Spectrométrie de masse
Spectres Full MS
MS/MS
MSⁿ
Haute résolution



Trappe d'ions

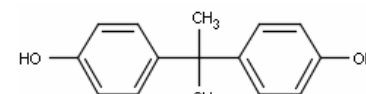
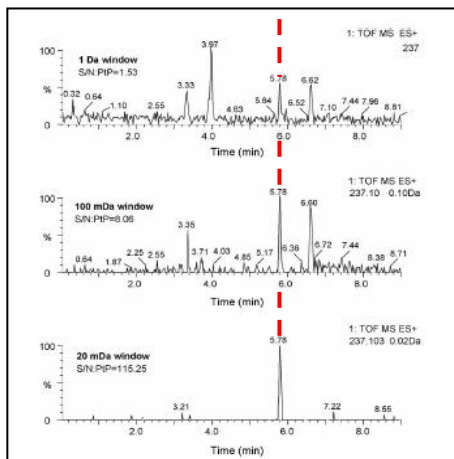
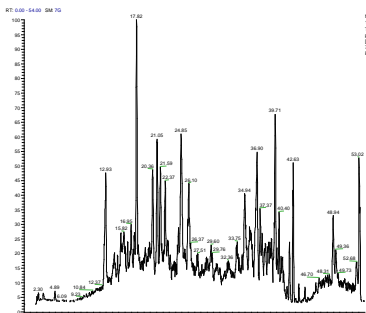
LHQ-Orbitrap



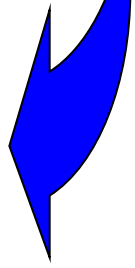
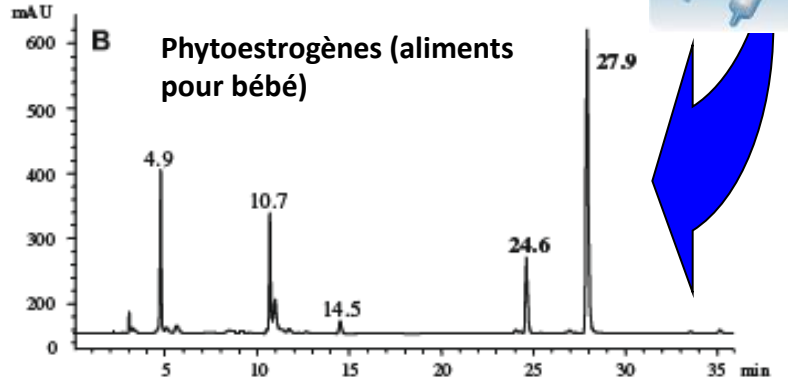
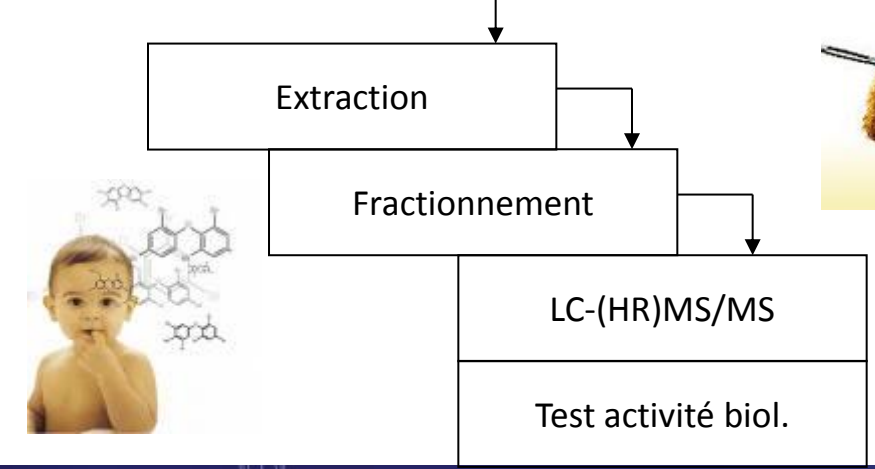
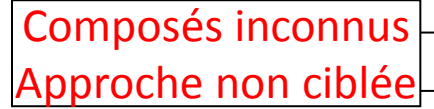
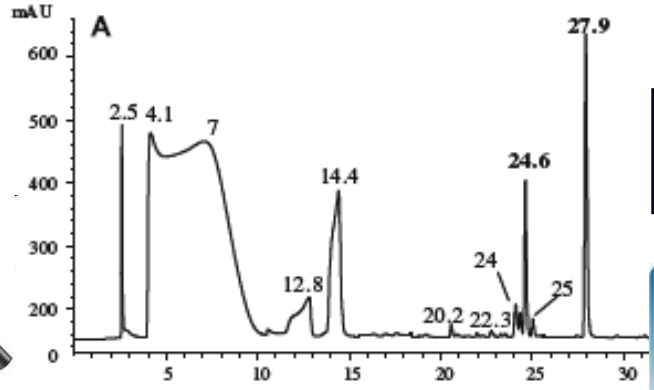
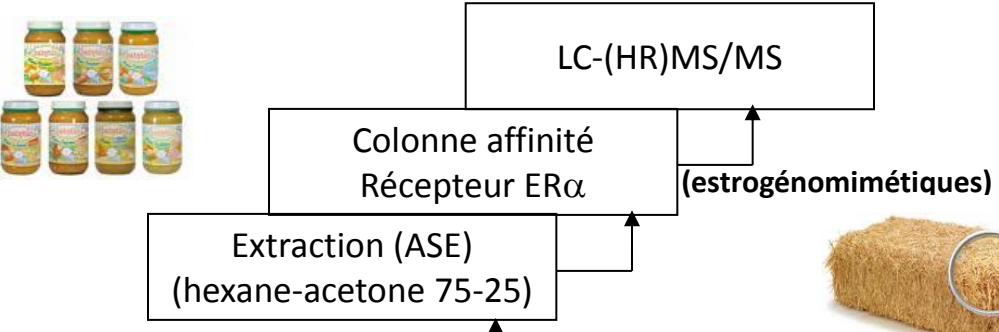
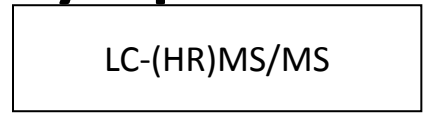
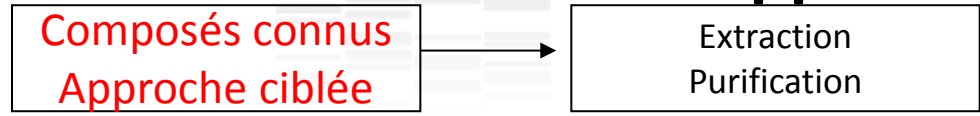
Schéma de fragmentation

Filiation ionique

Accès aux compositions
élémentaires



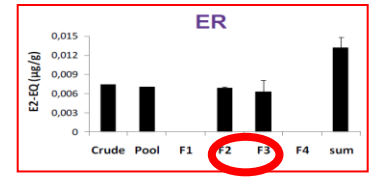
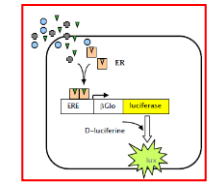
Exposition aux perturbateurs endocriniens : approches analytiques



→ Identification structurale



Application : recherche de perturbateurs endocriniens dans des sédiments de rivière

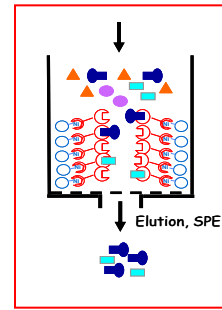


Fractionnement

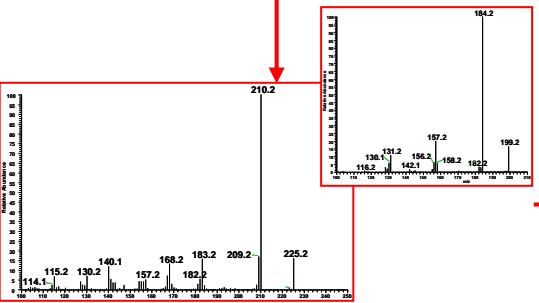
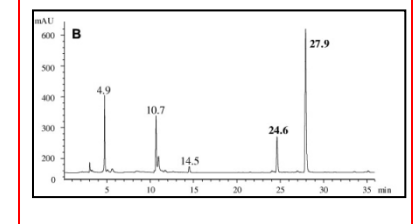
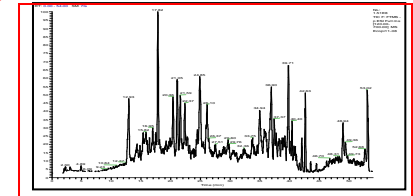
Test d'activité



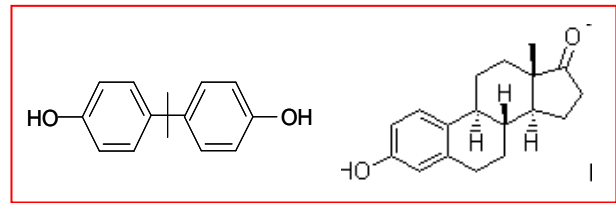
Analyse LC-HRMS (MS/MS)



Colonne d'affinité RN



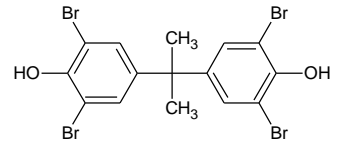
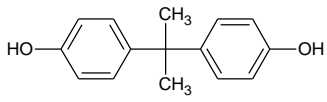
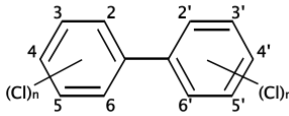
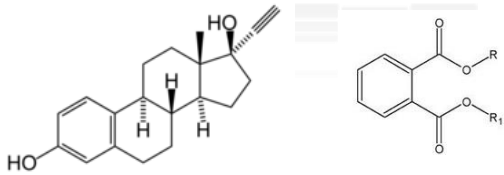
Analyse structurale



Identification molécules bioactives

Quantification

Stratégie expérimentale



HPLC: C18 Uptisphere (250×2mm, 5 μm) 35°C
(A) H₂O/CH₃CN/CH₃CO₂H 95/5/01 (B) CH₃CN
0min 0%B, 30-40min 100%B

MS: LTQ Orbitrap XL
ESI + et – (paramètres globaux)
full HRMS résolution 60000 (m/z 100 à 700)

Data processing:

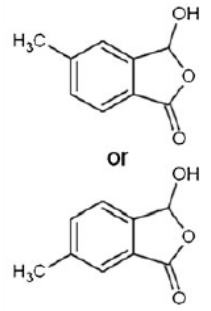
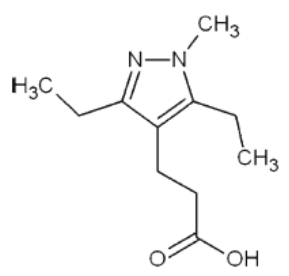
- Comparaison des échantillons avec un extrait blanc (« background subtraction »)
- Proposition de formule brute ± 5ppm (C 0–30, H 0–60, N 0–6, O 0–15, P 0–3, I 0–6, and F 0–6), règle de l'azote, massif isotopique, MS/MS.
- Interrogation base de données « ChempSpider »
- Identification par LC-HRMSⁿ ou LC-ITMSⁿ, comparaison avec standards

Quelques résultats

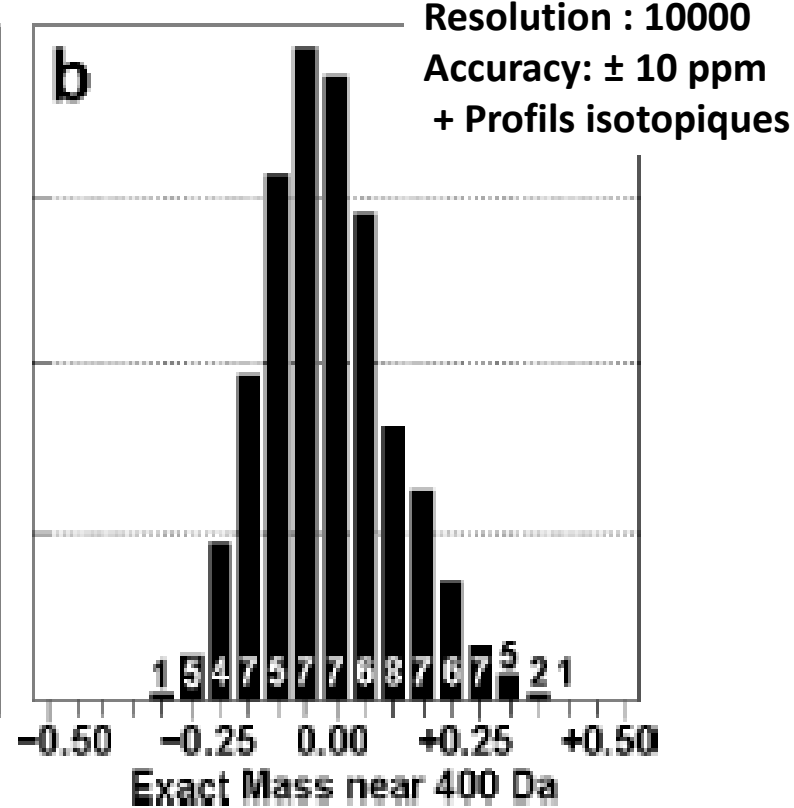
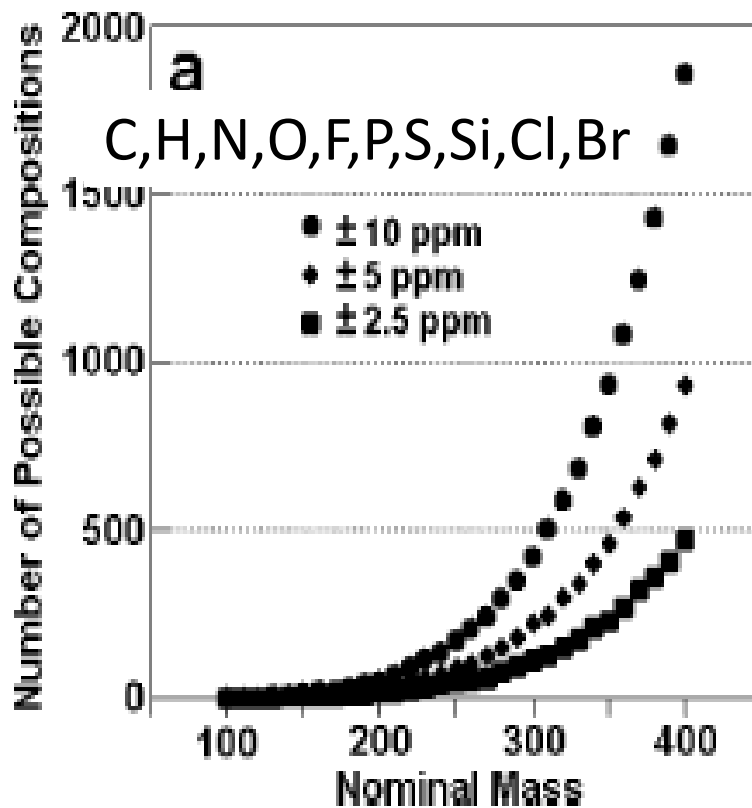


HRMS [M-H] ⁻ (m/z)	R _T (min)	Molecular formula ^a	MS/MS fragment ions (m/z)	Number of candidates ^b	Pre-fractions
313.1762	9.3	C ₁₅ H ₂₆ O ₃ N ₂	265 209	155	F2+F3
➡ 209.1292 ^c	10.2	C ₁₁ H ₁₈ O ₂ N ₂	191.1187 165.1396 59.0141	893	F2+F3
➡ 205.1342	10.7	C ₁₂ H ₁₈ N ₂ O	ND	920	F2
165.0418	11.3	C ₆ H ₆ O ₂ N ₄	ND	145	F2
341.2075	12.0	C ₁₇ H ₃₀ O ₅ N ₂	293	103	F2
168.0778	12.5	C ₇ H ₁₁ O ₂ N ₃	97.0773	479	F3
185.0353	14.9	C ₁₀ H ₆ O ₂ N ₂	142	126	F2+F3
377.2436 ^c	17.6	C ₂₁ H ₃₄ O ₄ N ₂	ND	291	F2+F3
363.2648 ^c	18.6	C ₂₁ H ₃₆ O ₃ N ₂	295 249	163	F2+F3
187.0510	19.0	C ₁₀ H ₈ O ₂ N ₂	ND	718	F2+F3
267.0299	20.6	C ₁₅ H ₈ O ₅	ND	44	F3
➡ 288.0661	21.6	C ₁₈ H ₁₁ O ₃ N	260.0714 232.0767 182.0247	125	F3
➡ 227.1077	22.6	C ₁₅ H ₁₆ O ₂	212.0834 133.0654	976	F2+F3
285.1492	23.4	C ₁₃ H ₂₂ O ₂ F ₄ C ₁₈ H ₂₂ O ₃	ND	2 961	F3
313.2384	24.6	C ₁₈ H ₃₄ O ₄	295 277 269	244	F2+F3
➡ 193.0866	25.0	C ₁₁ H ₁₄ O ₃	137.0244 136.0162	1858	F3
➡ 163.0401	25.4	C ₉ H ₈ O ₃	135.0513 119.0503	314	F2
➡ 267.1391	25.6+27.5	C ₁₈ H ₂₀ O ₂	ND	1	F2+F3
253.0870	25.95	C ₁₀ H ₁₄ O ₃ C ₉ H ₁₁ O ₂ N ₆ F	ND	1276 1	F3
➡ 249.1858	26.8	C ₁₆ H ₂₆ O ₂	205.1601 192.1158	801	F3
➡ 269.1537	27.3	C ₁₈ H ₂₂ O ₂	171.1389	920	F3
➡ 205.1592	32.2	C ₁₄ H ₂₂ O ₂	ND	1436	F2+F3
283.0396	35.0	C ₁₆ H ₉ O ₄ F	163	27	F2

- 30 substances détectées
Seulement 7 uniquement en ESI+
- 4 PE connus identifiés : BPA, *n*butylparaben, 4OP-monoethoxylate , 4OP (level1)
- 1 PE connu suspecté : DES (level2)
- 4 composés suspects infirmés
- 2 inconnus caractérisés (level 1 et 2)



Comment aller plus loin ? Performance instrumentale



M 400.00000

- ± 2.5 ppm → 470 compositions
- ± 5.0 ppm → 932 compositions
- ± 10 ppm → 1860 compositions

Nombre maximum de compositions
possibles pour 399.95

Comment aller plus loin ? Performance instrumentale

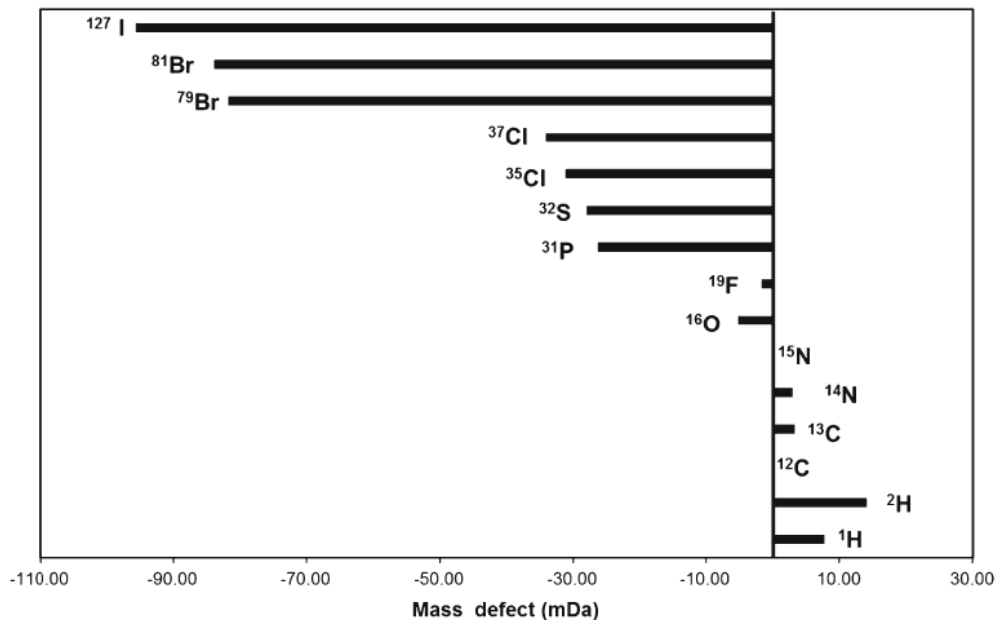


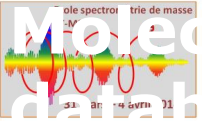
Fig. 1 The different mass defects of elemental isotopes enable a unique elemental composition for any molecule to be determined from a sufficiently accurate mass measurement. (Adapted from [32])

Objectif une seule formule brute possible

Précision nécessaire 0,1mDa y compris en mélange complexe

ToF / Orbitrap 2-10 mDa

FT-ICR ≈ 1 mDa



Comment aller plus loin ?

Recherche dans les bases de composés chimiques

Table 1: Example of a molecular formula search for $C_{15}H_{12}O_7$ in different chemical databases. Search date: July 2007

Database name	Compounds found	Total database entries
Chemical Abstracts (CAS)	181	24,000,000
Beilstein Database (MDL)	166	8,000,000
Dictionary of Natural Products (DNP)	129	170,000
PubChem (NIH)	19	800,000
Available Chemicals Directory (MDL)	6	400,000
ChemIDplus (NIH)	6	370,000
KEGG (Kyoto University)	3	13,000
NIST05 (NIST mass spectral database)	2	163,000
MOLGEN molecular isomer generator (allowing 2 benzene groups; 1 ether group, 1 keto group; 5 hydroxy groups)	788,000	-



Comment aller plus loin ?

Recherche dans les bases de composés chimiques

Table 3: Number of possible molecular formulas at different levels of mass accuracy and the impact of isotopic abundance accuracy. A mass spectrometer capable of 3 ppm but with 2% correct isotopic pattern outperforms even a (non-existing) mass spectrometer with 0.1 ppm mass accuracy! The results are computed for randomly selected targets, so single results vary but the trend remains. LEWIS and SENIOR check was applied. Candidates with unrelated high element counts were already excluded

molecular mass [Da]	without isotope abundance information					2% isotopic abundance accuracy	5% isotopic abundance accuracy
	10 ppm	5 ppm	3 ppm	1 ppm	0.1 ppm	3 ppm	5 ppm
150	2	1	1	1	1	1	1
200	3	2	2	1	1	1	1
300	24	11	7	2	1	1	6
400	78	37	23	7	1	2	13
500	266	115	64	21	2	3	33
600	505	257	155	50	5	4	36
700	1046	538	321	108	10	10	97
800	1964	973	599	200	20	13	111
900	3447	1712	1045	345	32	18	196

Manque de bases de spectres MS/MS comparables

Anal Bioanal Chem (2012) 403:2493–2502

DOI 10.1007/s00216-012-5893-y

REVIEW

Is nontarget screening of emerging contaminants by LC-HRMS successful? A plea for compound libraries and computer tools

Marco Zedda • Christian Zwiener